

# Empilements aléatoires de sphères creuses : caractérisation, comportement et intégration dans les structures sandwich.

Pierre LHUISSIER  
Yves BRECHET   Luc SALVO

SIMaP - GPM2  
Grenoble INP - CNRS - UJF - France

21 Septembre 2009, Soutenance de thèse de Doctorat - Grenoble



## Motivation

Matériaux architecturés

+

Structures sandwich

Pourquoi des matériaux  
architecturés ?

## Motivation

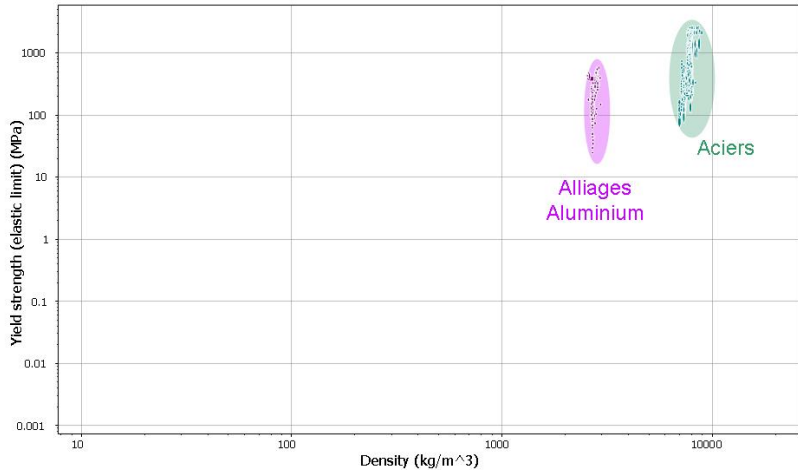
Matériaux architecturés

+

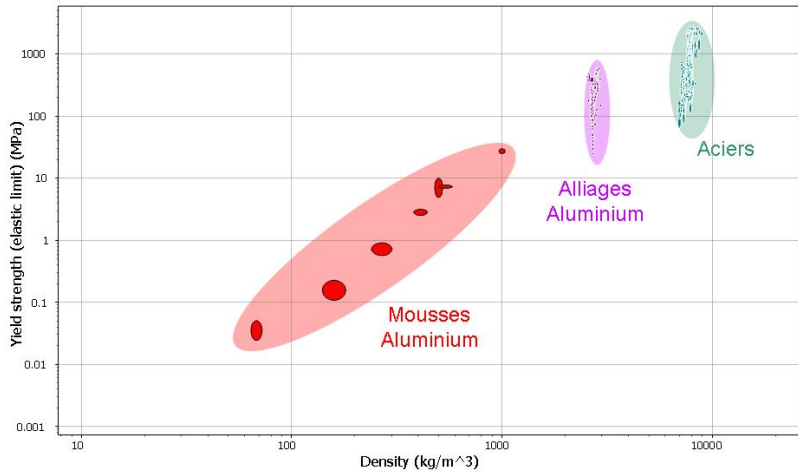
Structures sandwich

Pourquoi des matériaux  
architecturés ?

# Sélection des matériaux

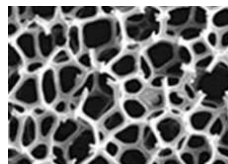
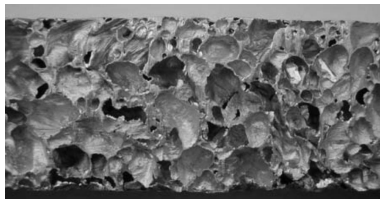


# Sélection des matériaux

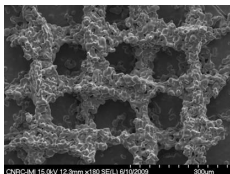


# Mousses métalliques

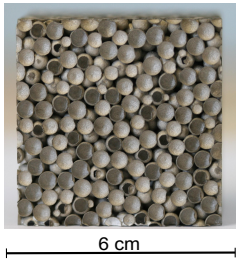
## Exemples



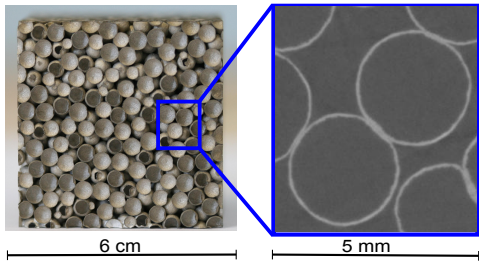
## Matériaux multifonctionnels



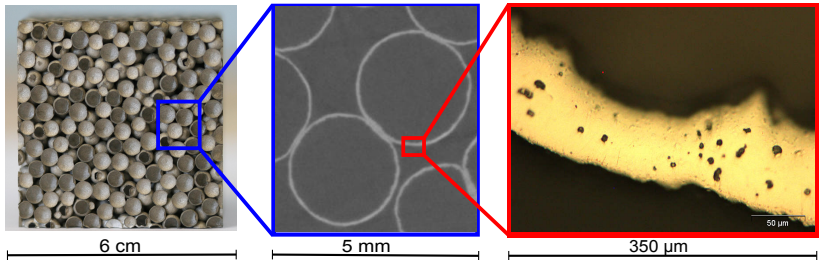
# Empilements de sphères creuses



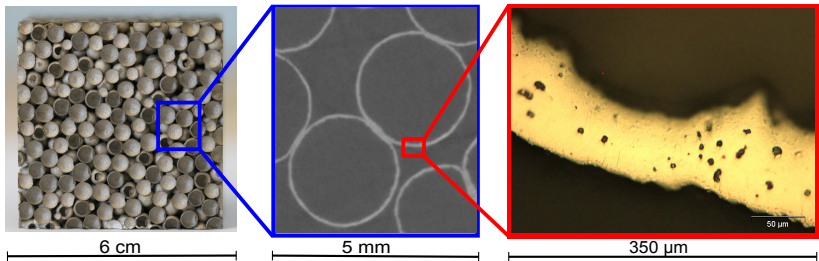
# Empilements de sphères creuses



# Empilements de sphères creuses

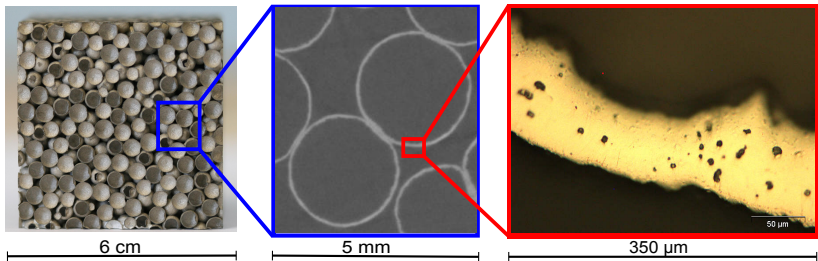


# Empilements de sphères creuses



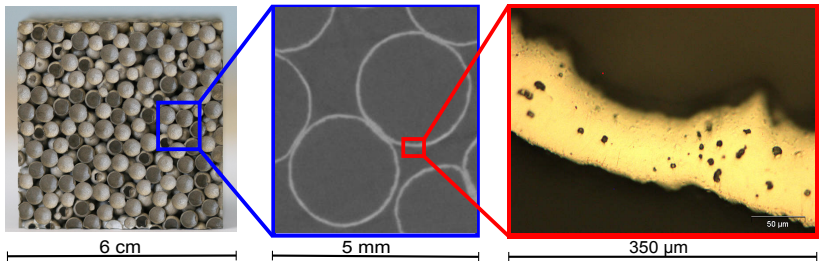
- ➊ Matériau cellulaire
- ➋ Elaboration par métallurgie des poudres
- ➌ Mousse ouverte
- ➍ Mousse fermée
- Degrés de libertés de l'architecture
- Taille de cellule, épaisseur de coque, taille de col

# Empilements de sphères creuses



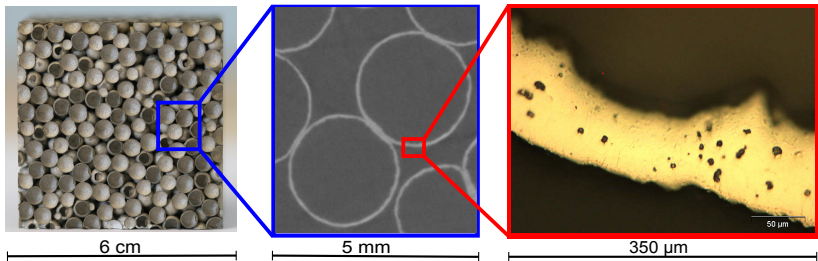
- ➊ Matériau cellulaire
- ➋ Elaboration par métallurgie des poudres
- ➌ Mousse ouverte
- ➍ Mousse fermée
- ➎ Matériau constitutif
  - ➔ Températures élevées
  - ➔ Conductivité
- ➏ Microporosité

# Empilements de sphères creuses



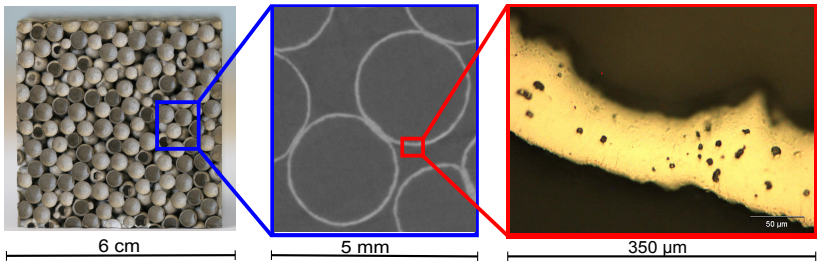
- ➊ Matériau cellulaire
- ➋ Elaboration par métallurgie des poudres
- ➌ Mousse ouverte
  - Faible densité
  - Absorption accoustique
- ➍ Mousse fermée

# Empilements de sphères creuses

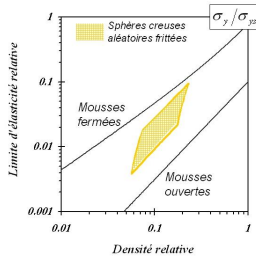


- ➊ Matériau cellulaire
  - ➋ Elaboration par métallurgie des poudres
  - ➌ Mousse ouverte
  - ➍ Mousse fermée
- ➊ Importante énergie mécanique absorbée
  - ➋ Propriétés mécaniques spécifiques élevées

# Empilements de sphères creuses

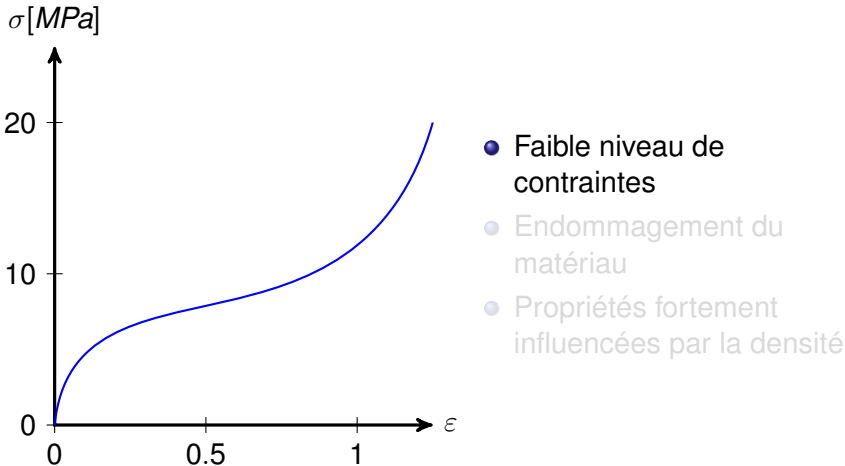


- ① Matériau cellulaire
- ② Elaboration par métallurgie des poudres
- ③ Mousse ouverte
- ④ Mousse fermée



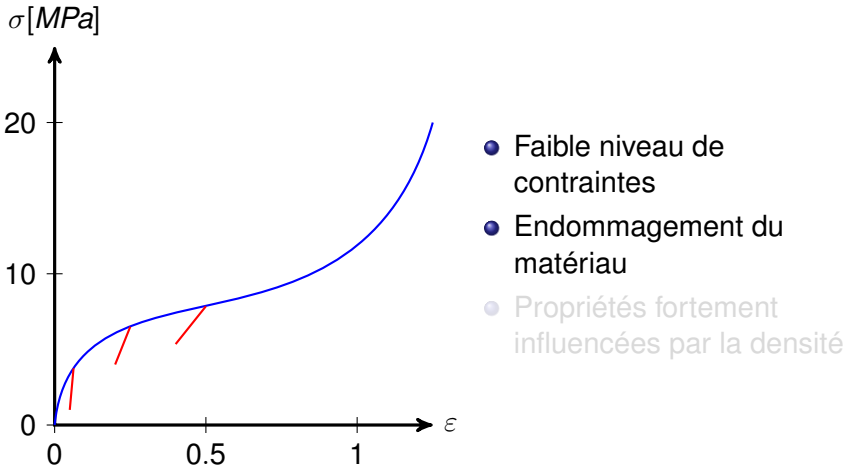
# Intégration dans des structures

## Propriétés



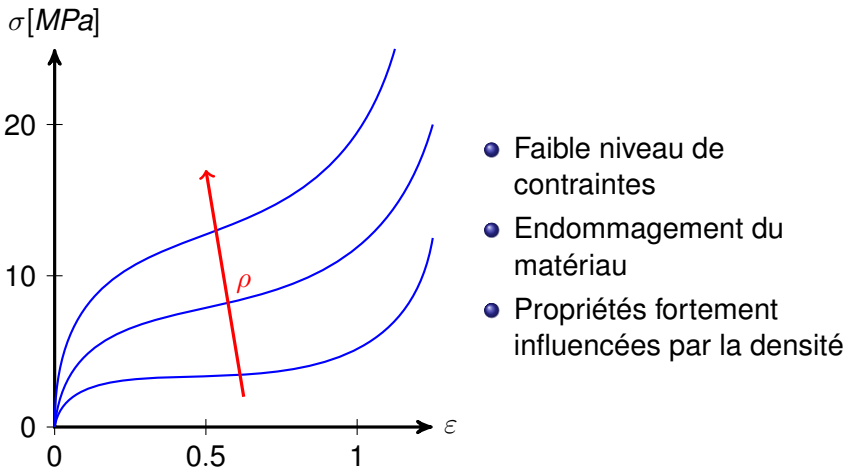
# Intégration dans des structures

## Propriétés



# Intégration dans des structures

## Propriétés

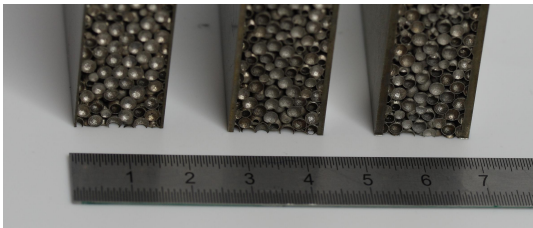


# Intégration dans des structures

## Couplage de propriétés

⇒ Association avec un matériau dense :

- Profilés
- Structures sandwich



# Contexte de l'étude

## Empilements ordonnés

S. GASSER  
(ONERA, 2003)  
Elastoplasticité et  
acoustique



M.W. SANDERS  
(MIT, 2002)  
Elastoplasticité

# Contexte de l'étude

## Empilements ordonnés

S. GASSER  
(ONERA, 2003)  
Elastoplasticité et  
acoustique

M.W. SANDERS  
(MIT, 2002)  
Elastoplasticité



## MAtériaux POreux (Empilements aléatoires)

F. MAMOUD  
(ONERA, 2007)  
Elasticité et fluage

O. CATY  
(INSA Lyon, 2008)  
Fatigue

A. FALLET  
(Grenoble INP, 2008)  
Initiation plasticité et  
endommagement



# Contexte de l'étude

## Empilements ordonnés

S. GASSER  
(ONERA, 2003)  
Elastoplasticité et  
acoustique



M.W. SANDERS  
(MIT, 2002)  
Elastoplasticité

## MAteriaux POreux (Empilements aléatoires)

F. MAMOUD  
(ONERA, 2007)  
Elasticité et fluage

O. CATY  
(INSA Lyon, 2008)  
Fatigue

A. FALLET  
(Grenoble INP, 2008)  
Initiation plasticité et  
endommagement



## Milieux enchevêtrés

C. BARBIER  
(Grenoble INP,  
2008)  
Modélisation de  
milieu enchevêtré



J-P. MASSE  
(Grenoble INP,  
2008)  
Structures  
sandwichs fines



# Contexte de l'étude

## Empilements ordonnés

S. GASSER  
(ONERA, 2003)  
Elastoplasticité et  
acoustique

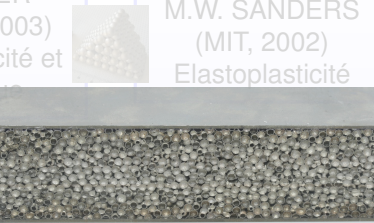
M.W. SANDERS  
(MIT, 2002)  
Elastoplasticité

MAtériaux P

F. MAMOUD  
(ONERA, 2007)  
Elasticité et fluage

O. CATY  
(INSA Lyon, 2008)  
Fatigue

A. FALLET  
(Grenoble INP, 2008)  
Initiation plasticité et  
endommagement



## Milieux enchevêtrés

C. BARBIER  
(Grenoble INP,  
2008)  
Modélisation de  
milieu enchevêtré



J-P. MASSE  
(Grenoble INP,  
2008)  
Structures  
sandwichs fines



# Contexte de l'étude

## Empilements ordonnés

## Milieux enchevêtrés



Peu de données expérimentales sur le matériau



Pas de modèles pour les grandes déformations



Peu de connaissance sur l'endommagement

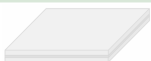


Pas de données expérimentales exploitables sur les structures

A. FALLET  
(Grenoble INP, 2008)  
Initiation plasticité et endommagement



Structures sandwichs fines



# Stratégie



# Stratégie

Expérimental



Analytique

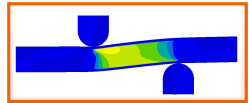
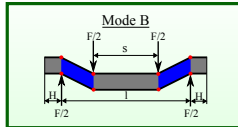


Numérique



# Stratégie

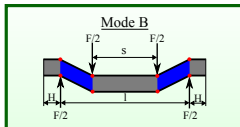
$$\sigma = f(\varepsilon)$$



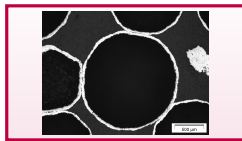
# Stratégie



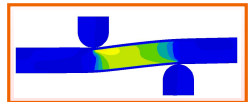
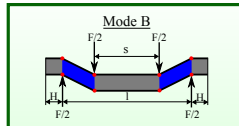
$$\sigma = f(\varepsilon)$$



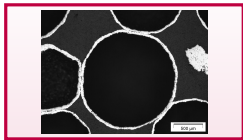
# Stratégie



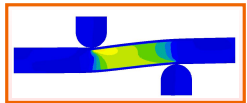
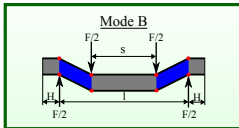
$$\sigma = f(\varepsilon)$$



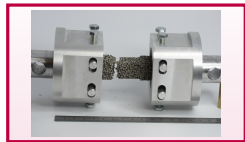
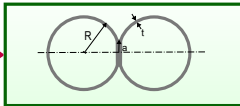
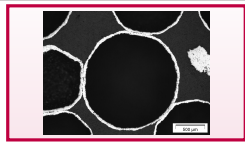
# Stratégie



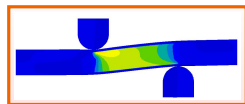
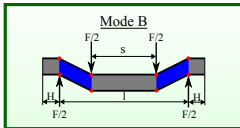
$$\sigma = f(\varepsilon)$$



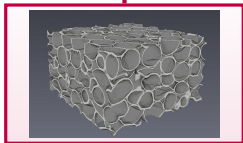
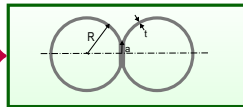
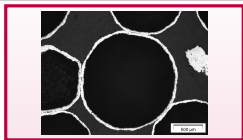
# Stratégie



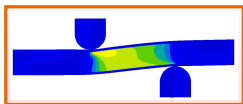
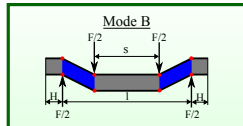
$$\sigma = f(\varepsilon)$$



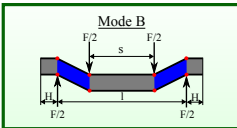
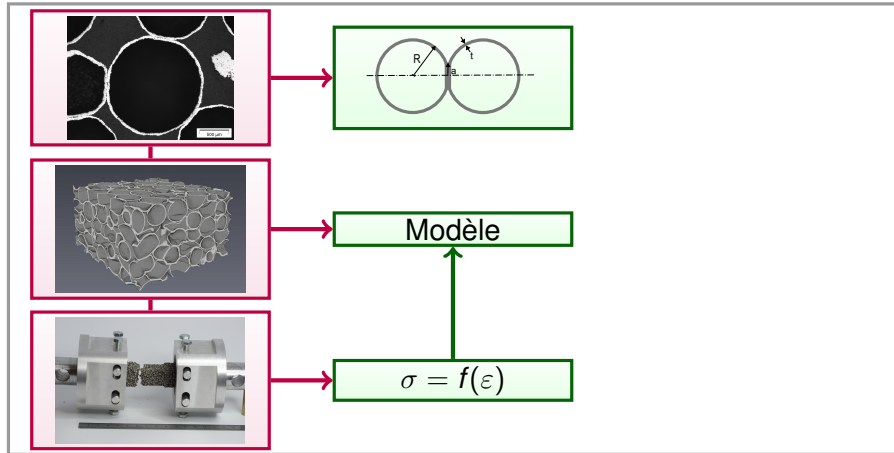
# Stratégie



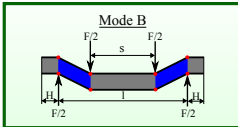
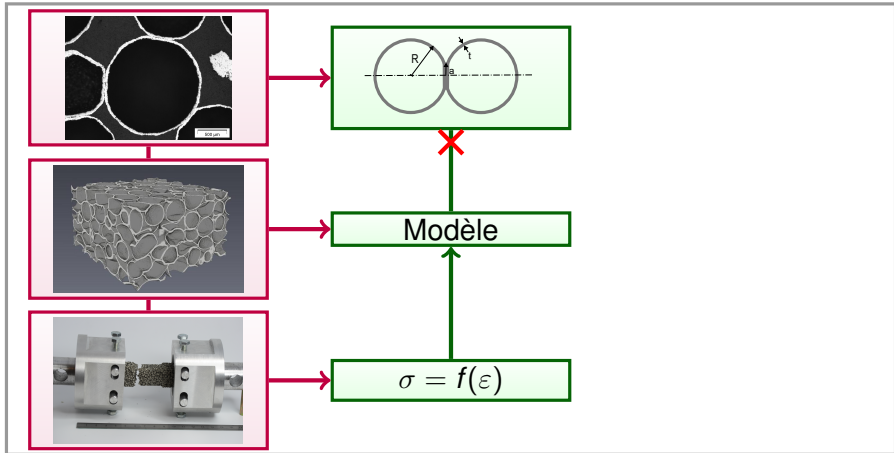
$$\sigma = f(\varepsilon)$$



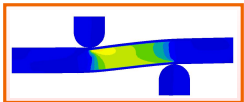
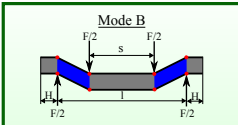
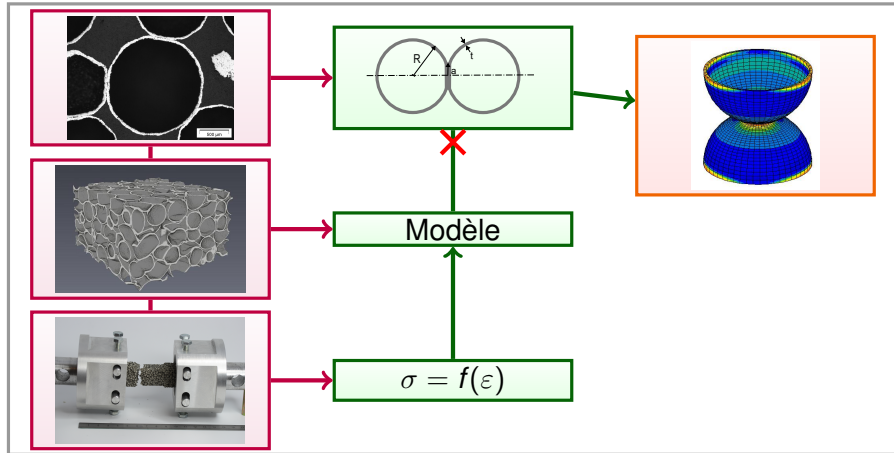
# Stratégie



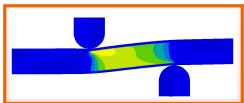
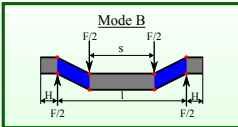
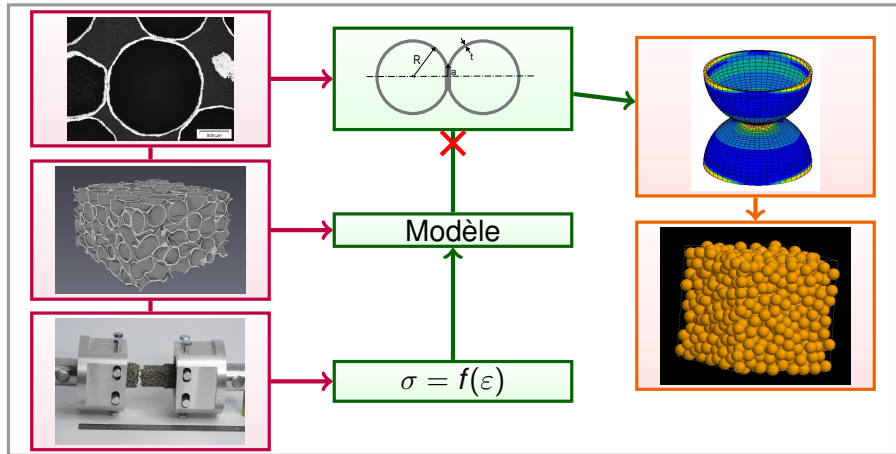
# Stratégie



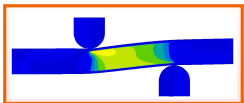
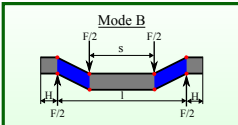
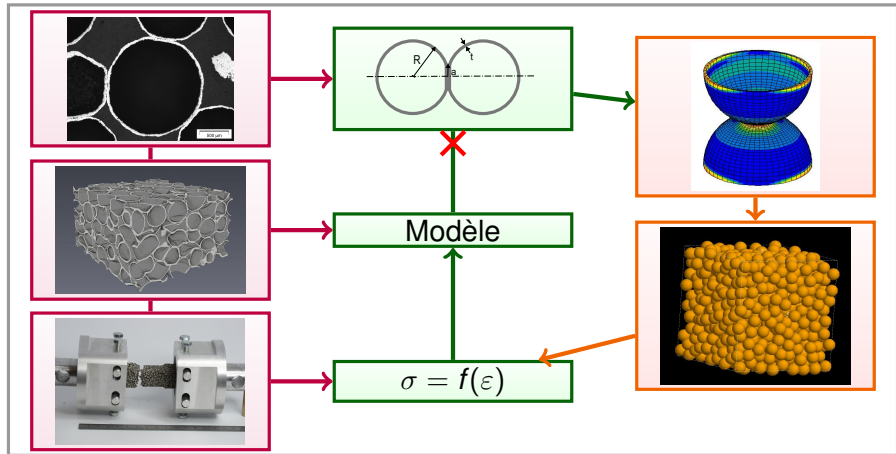
# Stratégie



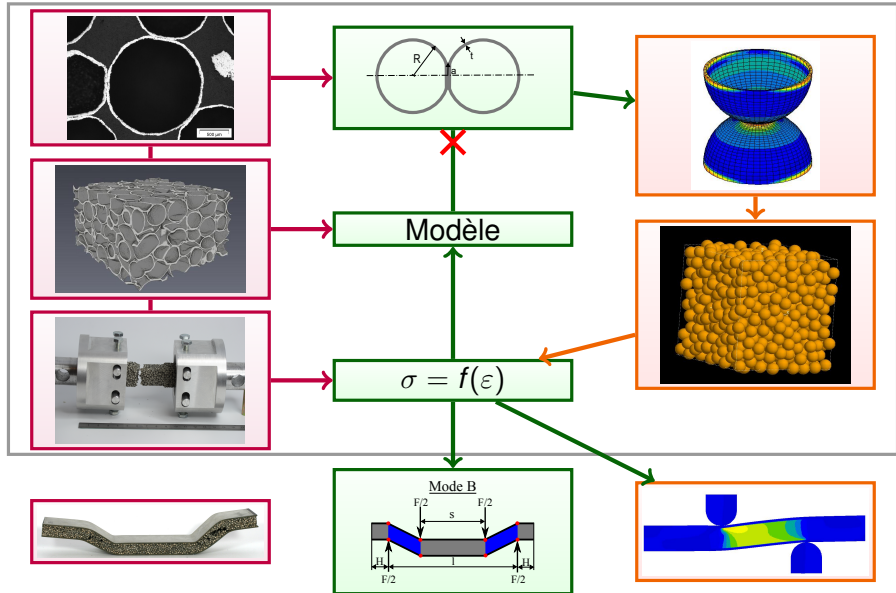
# Stratégie



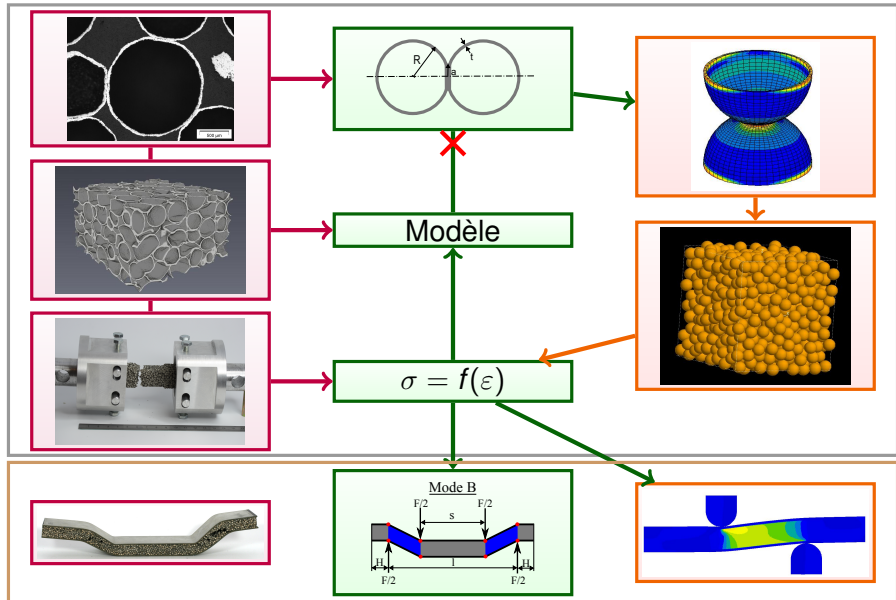
# Stratégie



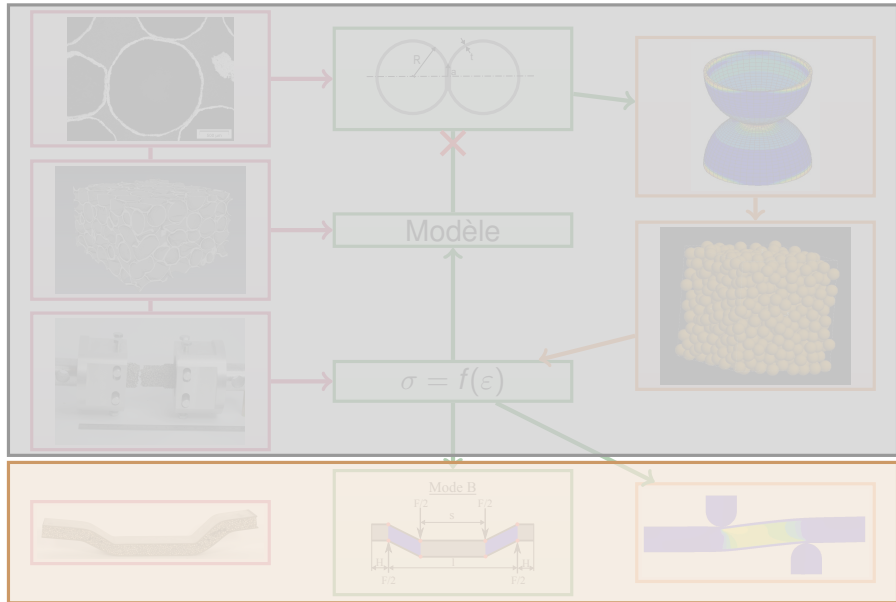
# Stratégie



# Stratégie



## Stratégie



# Stratégie

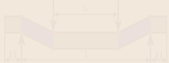
## Empilements de sphère creuses

Structure et modélisation

Comportement sous chargement uni-axial

Comportement sous chargement multi-axial

Mode B



# Stratégie

## Empilements de sphère creuses

Structure et modélisation

Comportement sous chargement uni-axial

Comportement sous chargement multi-axial

## Structures sandwich

# Stratégie

## Empilements de sphère creuses

Structure et modélisation

Comportement sous chargement uni-axial

Comportement sous chargement multi-axial

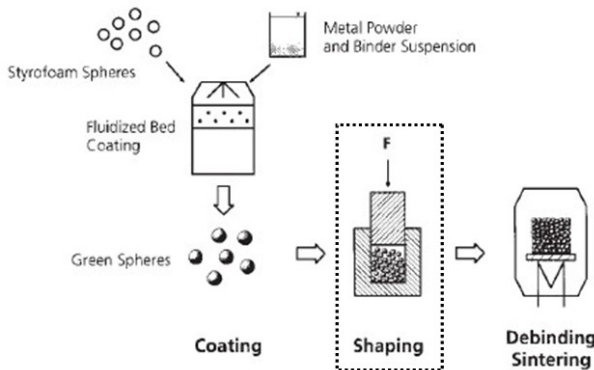
Modèle

## Structures sandwich

## Conclusions et perspectives

# Procédé d'élaboration

IFAM



Echantillons étudiés

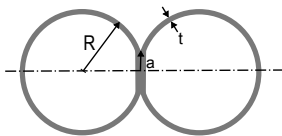
Fournis par PLANSEE.

Matériau constitutif : 314 (norme AISI).

# Structure du matériau

## Caractérisation par tomographie aux rayons X

	A	B	C
$R$ (mm)	1.31	1.31	1.31
$a$ ( $\mu m$ )	418	400	388
$t$ ( $\mu m$ )	56	72	88
$\rho^*/\rho_s$	0.070	0.092	0.113
$z$	7.9	8.2	7.6

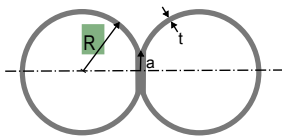


Paramètre structural :  $t \rightarrow \rho$

# Structure du matériau

## Caractérisation par tomographie aux rayons X

	A	B	C
$R$ (mm)	1.31	1.31	1.31
$a$ ( $\mu m$ )	418	400	388
$t$ ( $\mu m$ )	56	72	88
$\rho^*/\rho_s$	0.070	0.092	0.113
$z$	7.9	8.2	7.6

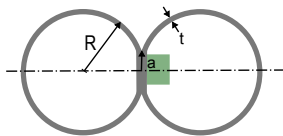


Paramètre structural :  $t \rightarrow \rho$

# Structure du matériau

Caractérisation par tomographie aux rayons X

	A	B	C
$R$ (mm)	1.31	1.31	1.31
$a$ ( $\mu m$ )	418	400	388
$t$ ( $\mu m$ )	56	72	88
$\rho^*/\rho_s$	0.070	0.092	0.113
$z$	7.9	8.2	7.6

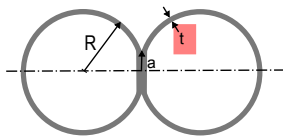


Paramètre structural :  $t \rightarrow \rho$

# Structure du matériau

Caractérisation par tomographie aux rayons X

	A	B	C
$R$ (mm)	1.31	1.31	1.31
$a$ ( $\mu m$ )	418	400	388
$t$ ( $\mu m$ )	56	72	88
$\rho^*/\rho_s$	0.070	0.092	0.113
$z$	7.9	8.2	7.6

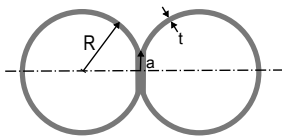


Paramètre structural :  $t \rightarrow \rho$

# Structure du matériau

Caractérisation par tomographie aux rayons X

	A	B	C
$R$ (mm)	1.31	1.31	1.31
$a$ ( $\mu m$ )	418	400	388
$t$ ( $\mu m$ )	56	72	88
$\rho^*/\rho_s$	0.070	0.092	0.113
$z$	7.9	8.2	7.6

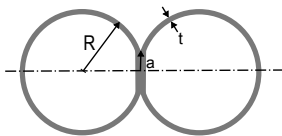


Paramètre structural :  $t \rightarrow \rho$

# Structure du matériau

Caractérisation par tomographie aux rayons X

	A	B	C
$R$ (mm)	1.31	1.31	1.31
$a$ ( $\mu m$ )	418	400	388
$t$ ( $\mu m$ )	56	72	88
$\rho^*/\rho_s$	0.070	0.092	0.113
$z$	7.9	8.2	7.6

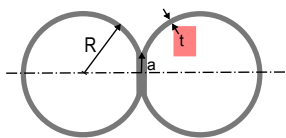


Paramètre structural :  $t \rightarrow \rho$

# Structure du matériau

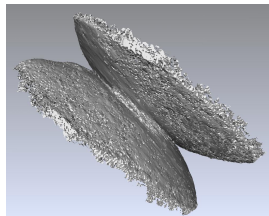
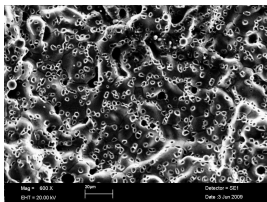
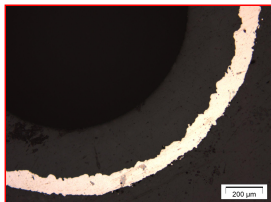
Caractérisation par tomographie aux rayons X

	A	B	C
$R$ (mm)	1.31	1.31	1.31
$a$ ( $\mu m$ )	418	400	388
$t$ ( $\mu m$ )	56	72	88
$\rho^*/\rho_s$	0.070	0.092	0.113
$z$	7.9	8.2	7.6



Paramètre structural :  $t \rightarrow \rho$

# Structure du matériau

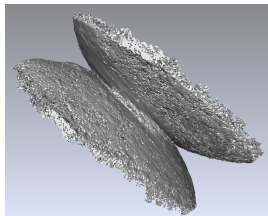
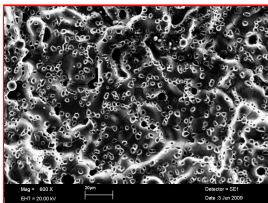
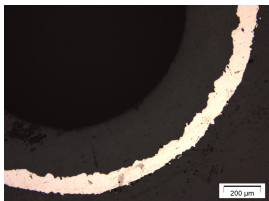


- Surface rugueuses ( $\simeq 20 \mu m$ )
- Porosité des parois ( $\simeq 4\%$ )
- Surface de contact



surrestimée

# Structure du matériau

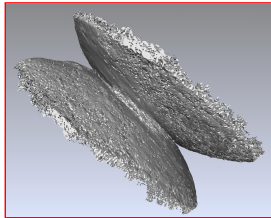
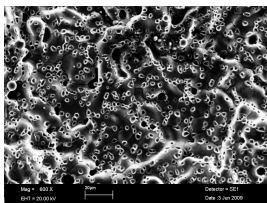
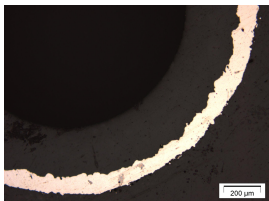


- Surface rugueuses ( $\simeq 20\mu m$ )
- Porosité des parois ( $\simeq 4\%$ )
- Surface de contact



surrestimée

# Structure du matériau

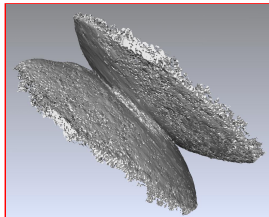
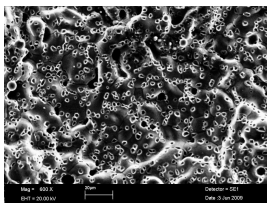
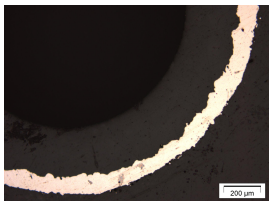


- Surface rugueuses ( $\simeq 20 \mu m$ )
- Porosité des parois ( $\simeq 4\%$ )
- Surface de contact



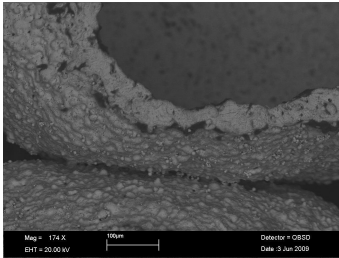
surrestimée

# Structure du matériau

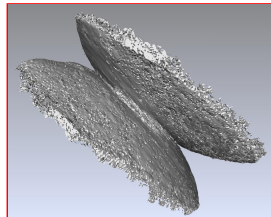
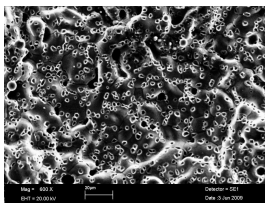
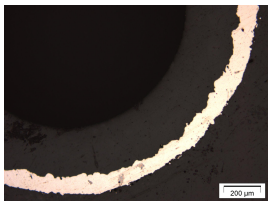


- Surface rugueuses ( $\simeq 20 \mu m$ )
- Porosité des parois ( $\simeq 4\%$ )
- Surface de contact

surrestimée

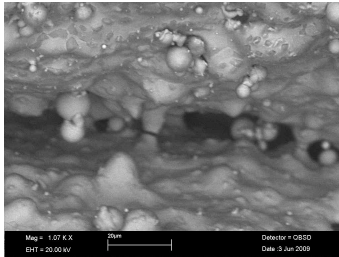


# Structure du matériau

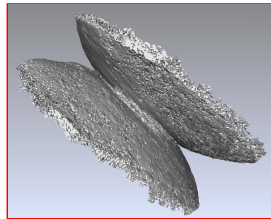
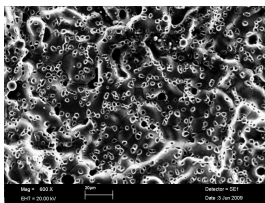
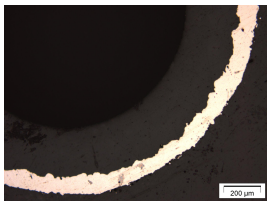


- Surface rugueuses ( $\simeq 20\mu m$ )
- Porosité des parois ( $\simeq 4\%$ )
- Surface de contact

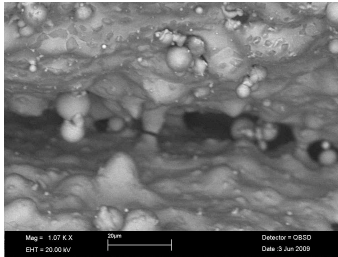
surrestimée



# Structure du matériau

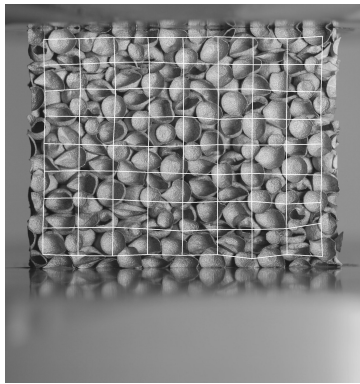
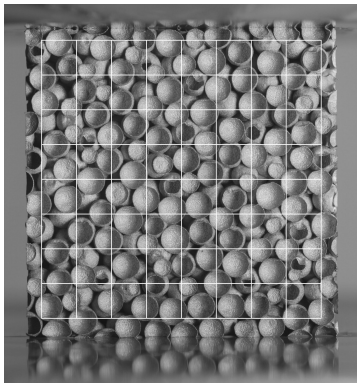


- Surface rugueuses ( $\simeq 20\mu m$ )
- Porosité des parois ( $\simeq 4\%$ )
- Surface de contact surrestimée 



# Essais mécaniques

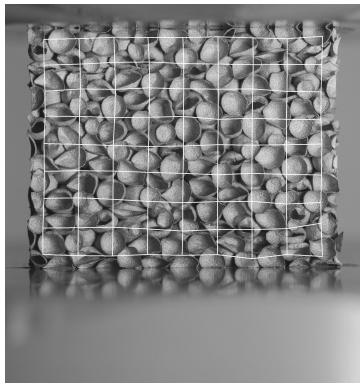
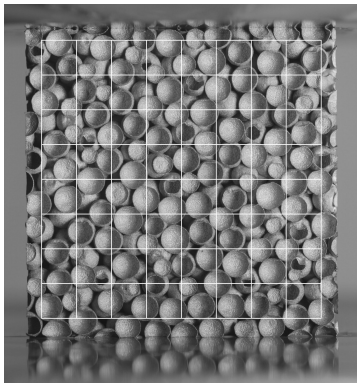
Compression uniaxiale



Déformation homogène

# Essais mécaniques

Compression uniaxiale

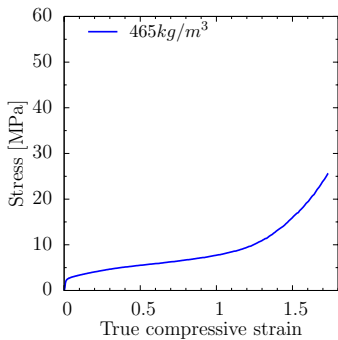


Déformation homogène

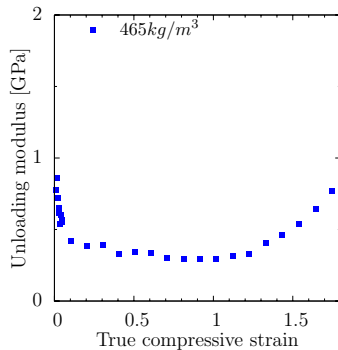
# Essais mécaniques

Compression uniaxiale

## Contrainte-déformation



## Module de décharge

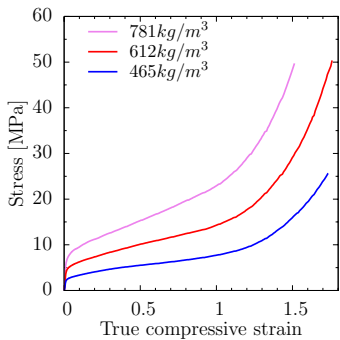


$$\text{Lois puissance : } P = P_0 \rho^n$$

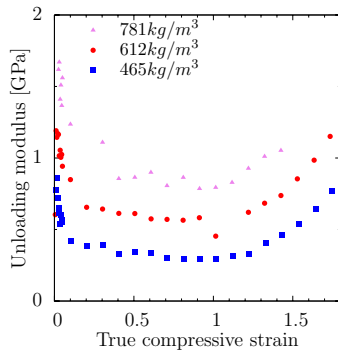
# Essais mécaniques

Compression uniaxiale

## Contrainte-déformation



## Module de décharge

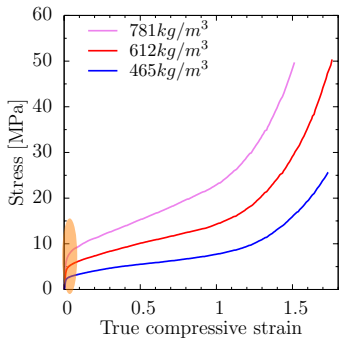


Lois puissance :  $P = P_0 \rho^n$

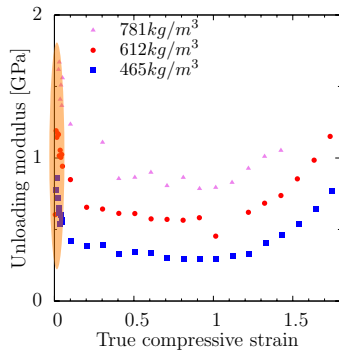
# Essais mécaniques

Compression uniaxiale

## Contrainte-déformation



## Module de décharge

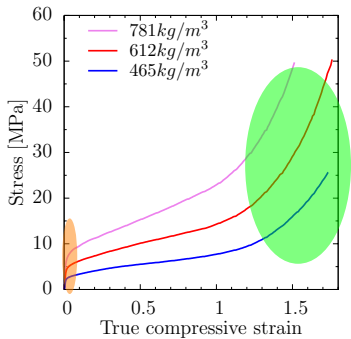


$$\text{Lois puissance : } P = P_0 \rho^n$$

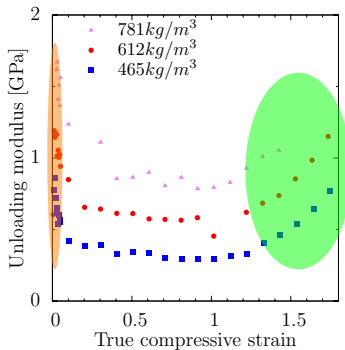
# Essais mécaniques

Compression uniaxiale

## Contrainte-déformation



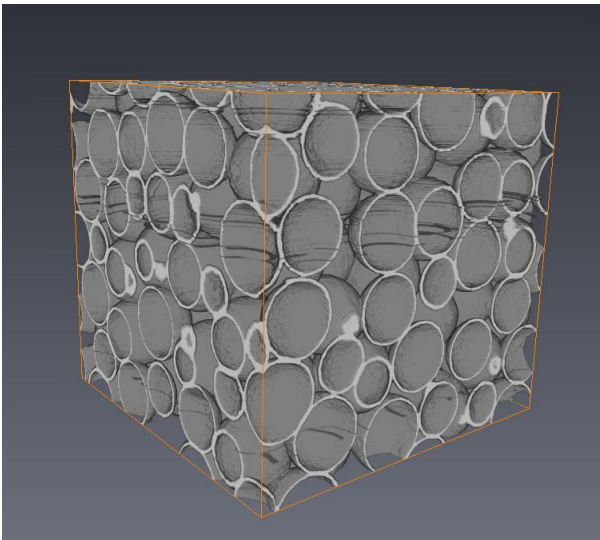
## Module de décharge



Lois puissance :  $P = P_0 \rho^n$

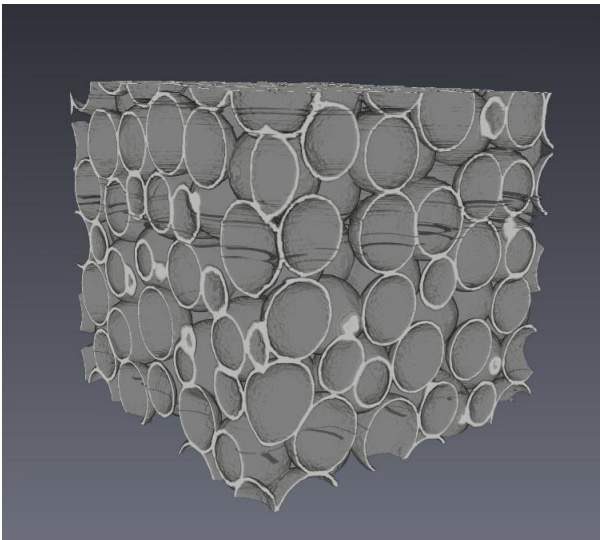
# Mécanismes locaux

## Densification



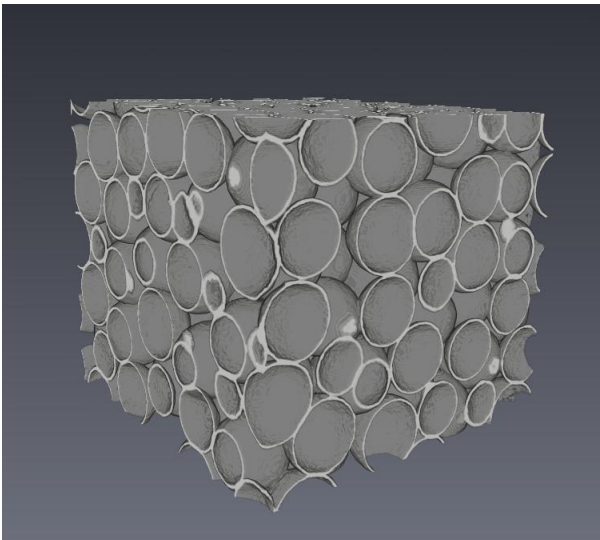
# Mécanismes locaux

## Densification



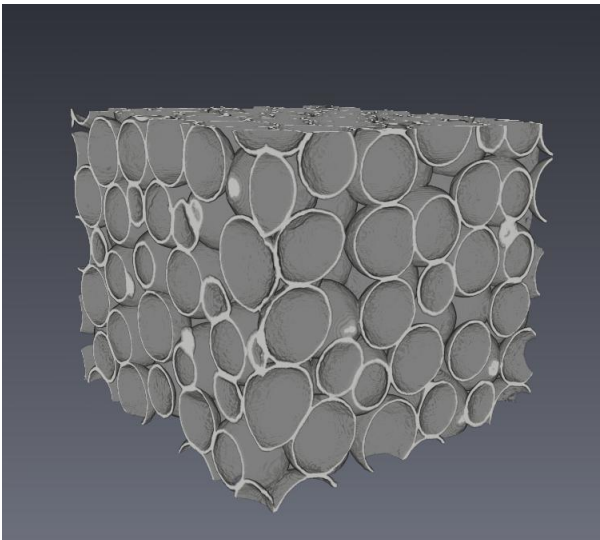
# Mécanismes locaux

## Densification



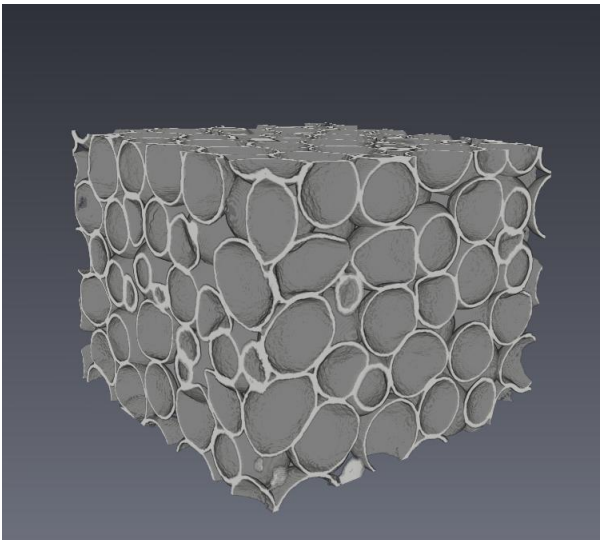
# Mécanismes locaux

## Densification



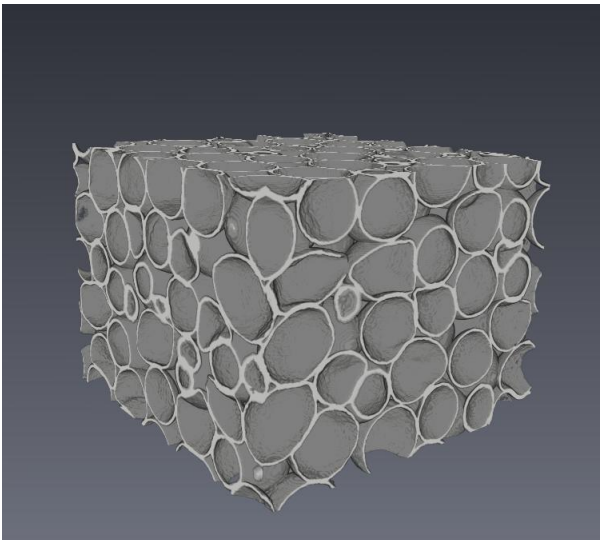
# Mécanismes locaux

## Densification



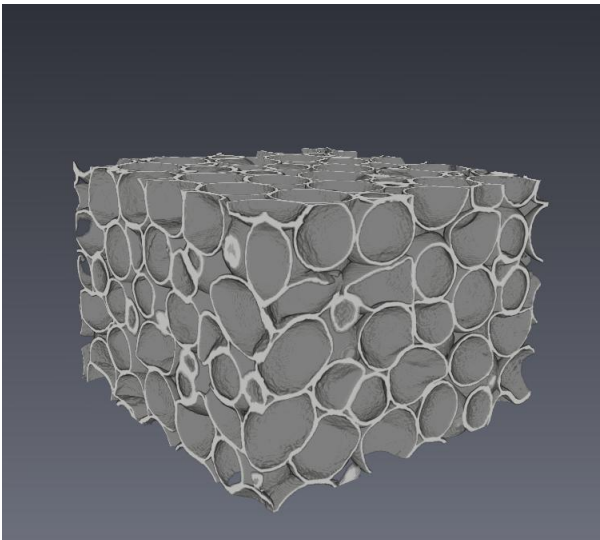
# Mécanismes locaux

## Densification



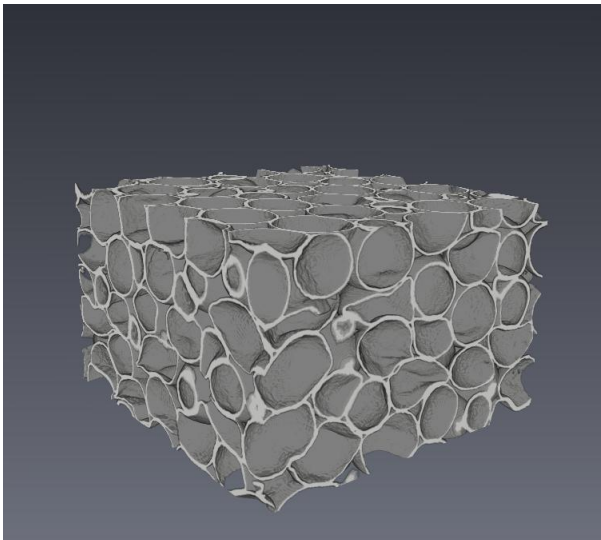
# Mécanismes locaux

## Densification



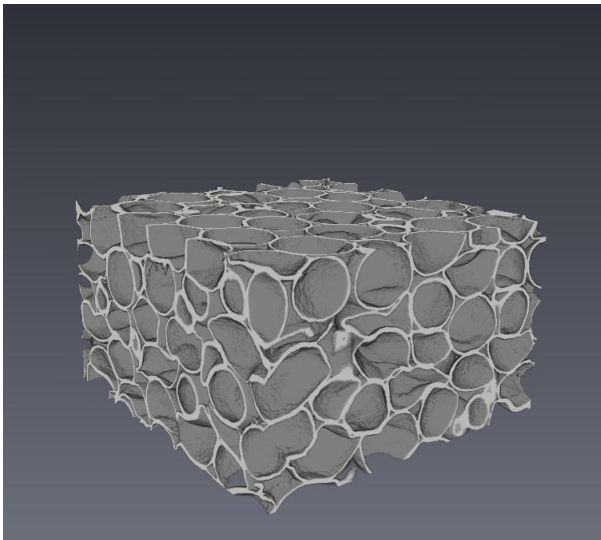
# Mécanismes locaux

## Densification



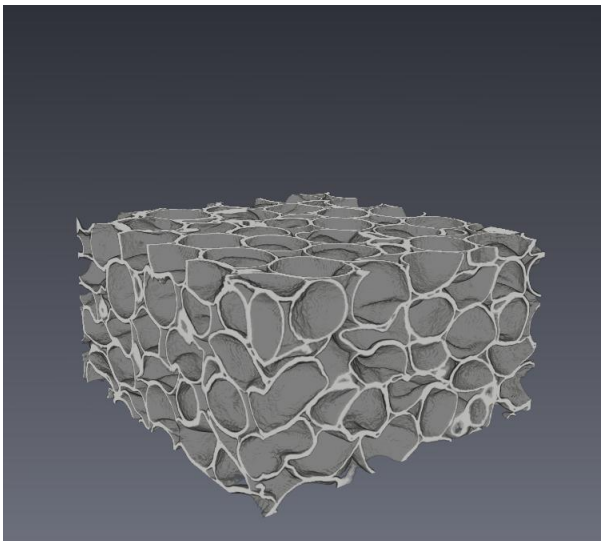
# Mécanismes locaux

## Densification



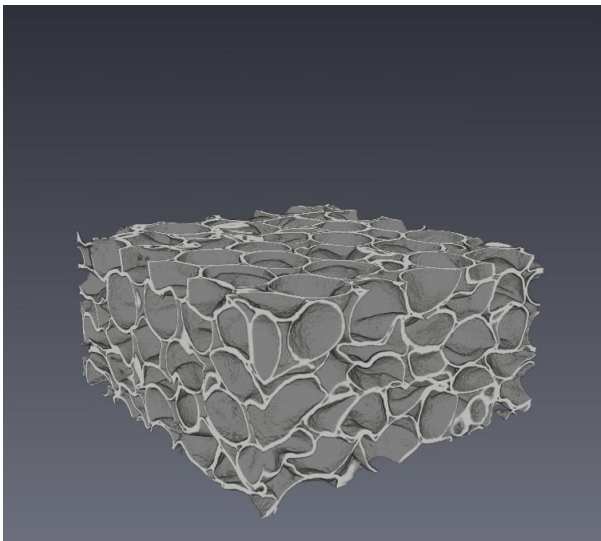
# Mécanismes locaux

## Densification



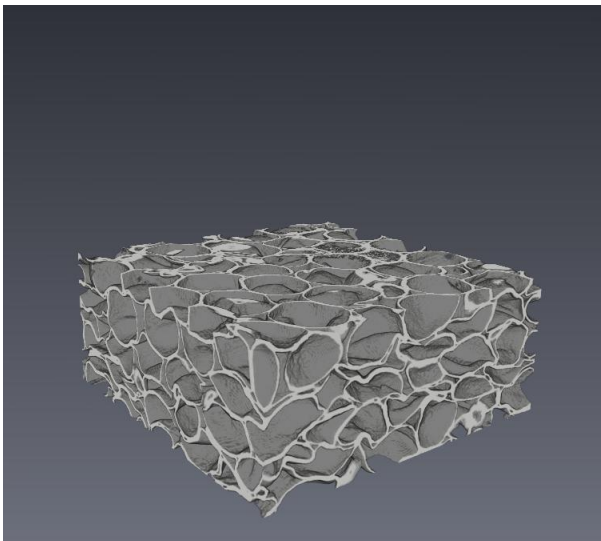
# Mécanismes locaux

## Densification



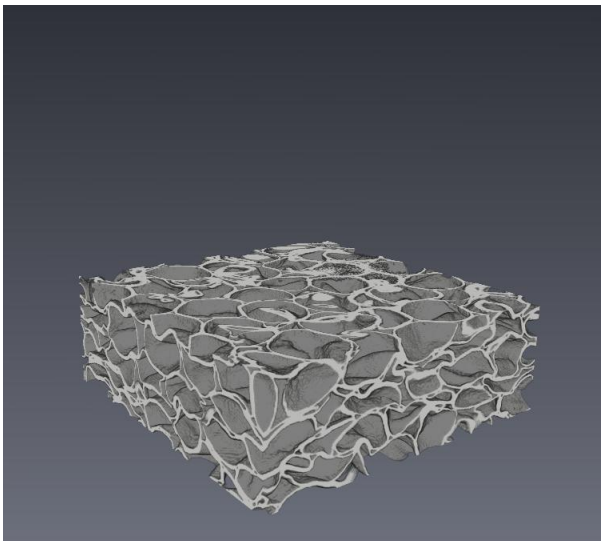
# Mécanismes locaux

## Densification



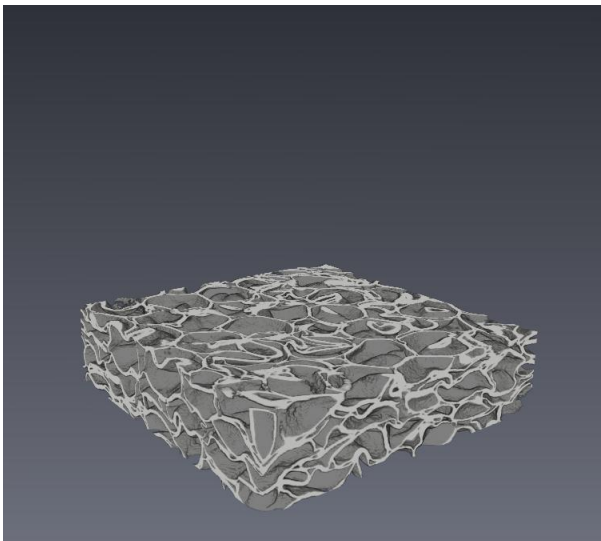
# Mécanismes locaux

## Densification



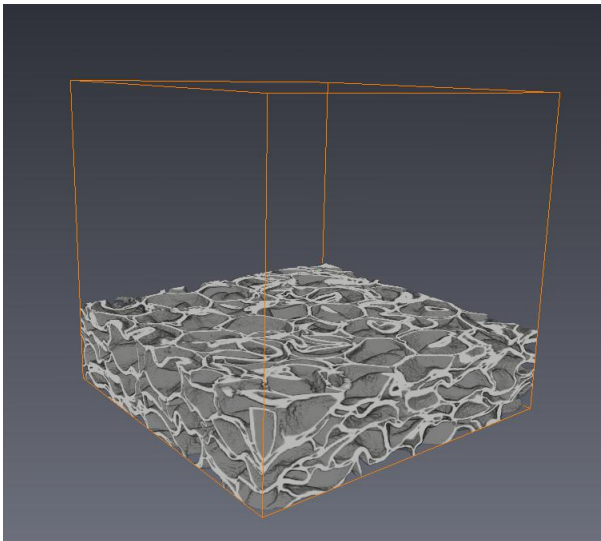
# Mécanismes locaux

## Densification



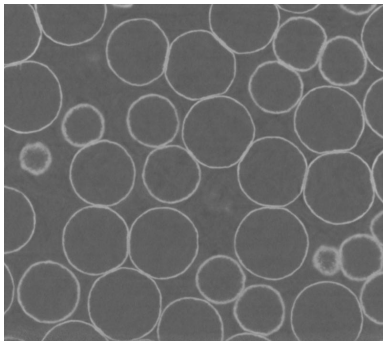
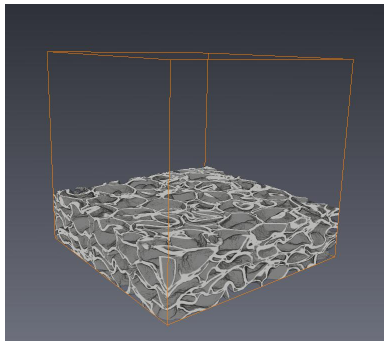
# Mécanismes locaux

## Densification



# Mécanismes locaux

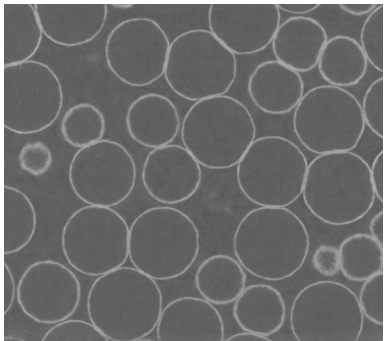
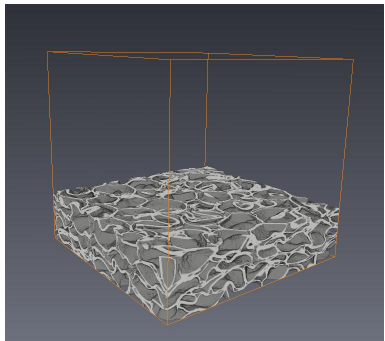
## Densification



Plateau = Occlusion de la porosité ouverte  
Densification = Occlusion de la porosité fermée

# Mécanismes locaux

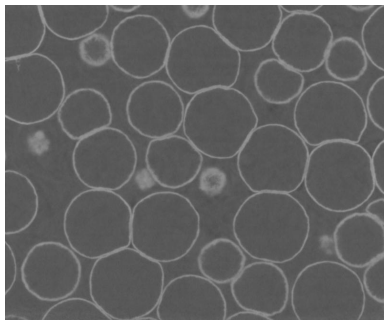
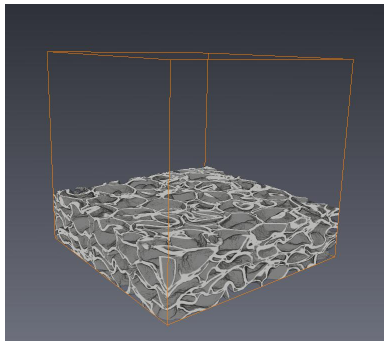
## Densification



Plateau = Occlusion de la porosité ouverte  
Densification = Occlusion de la porosité fermée

# Mécanismes locaux

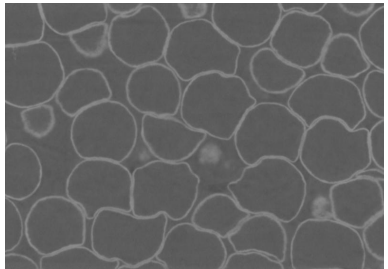
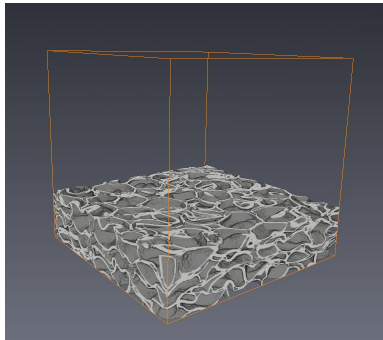
## Densification



Plateau = Occlusion de la porosité ouverte  
Densification = Occlusion de la porosité fermée

# Mécanismes locaux

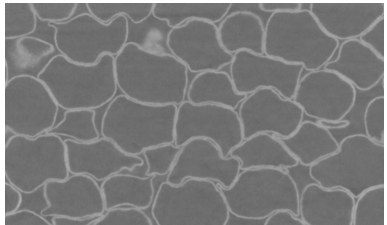
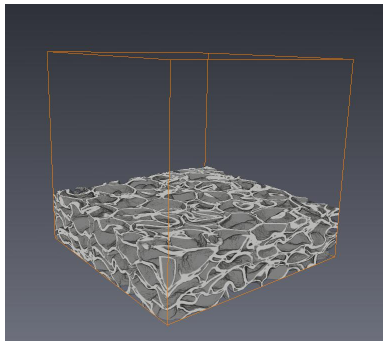
## Densification



Plateau = Occlusion de la porosité ouverte  
Densification = Occlusion de la porosité fermée

# Mécanismes locaux

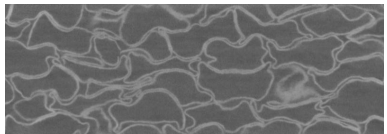
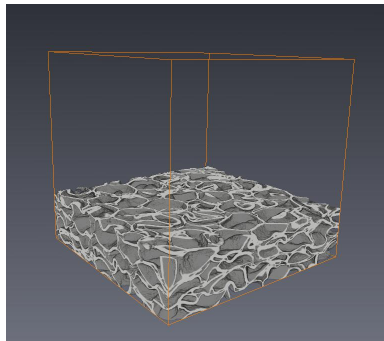
## Densification



Plateau = Occlusion de la porosité ouverte  
Densification = Occlusion de la porosité fermée

# Mécanismes locaux

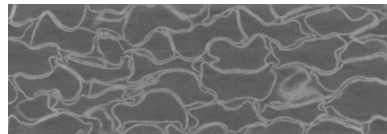
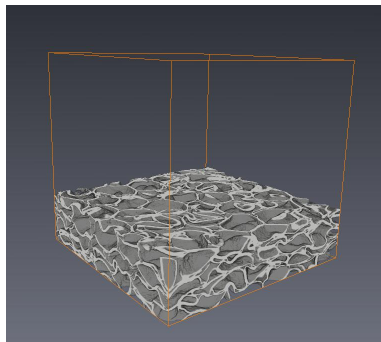
## Densification



Plateau = Occlusion de la porosité ouverte  
Densification = Occlusion de la porosité fermée

# Mécanismes locaux

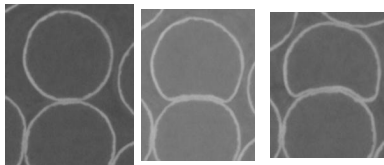
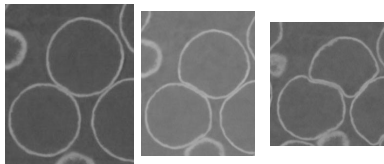
## Densification



Plateau = Occlusion de la porosité ouverte  
Densification = Occlusion de la porosité fermée

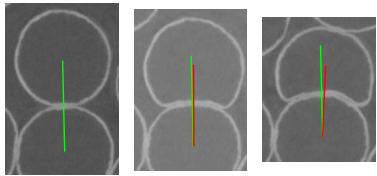
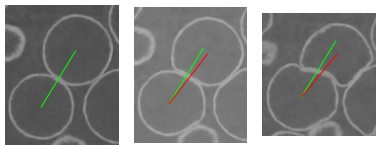
# Mécanismes locaux

## Endommagement



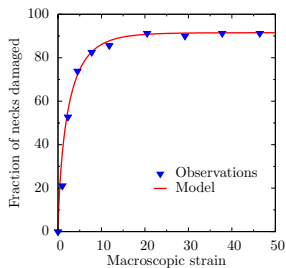
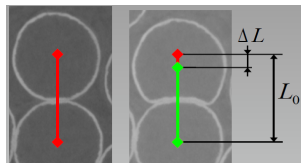
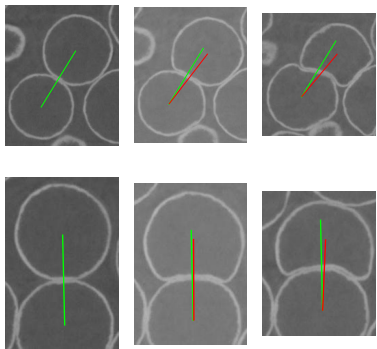
# Mécanismes locaux

## Endommagement



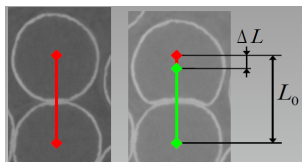
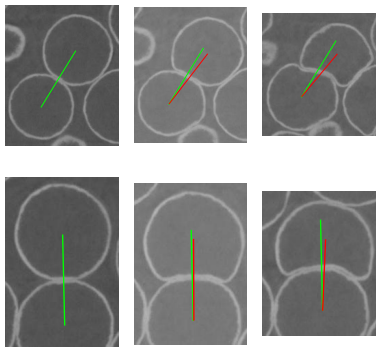
# Mécanismes locaux

## Endommagement



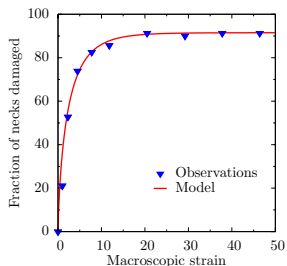
# Mécanismes locaux

## Endommagement



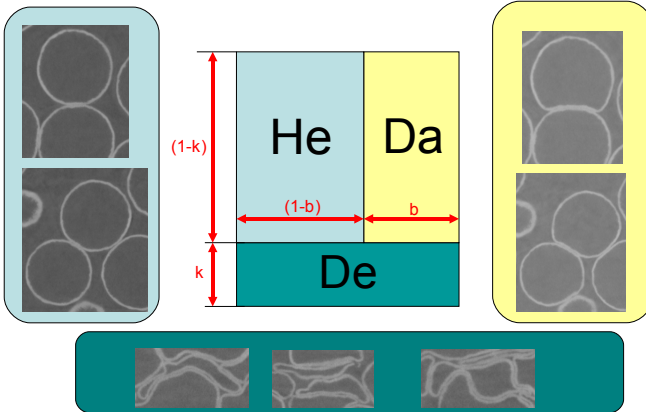
Fraction de cols endommagée :

$$P(\varepsilon) = 0.9 \left[ 1 - e^{\left( \frac{\varepsilon}{\varepsilon_U} \right)^{0.75}} \right]$$



# Modèle phénoménologique

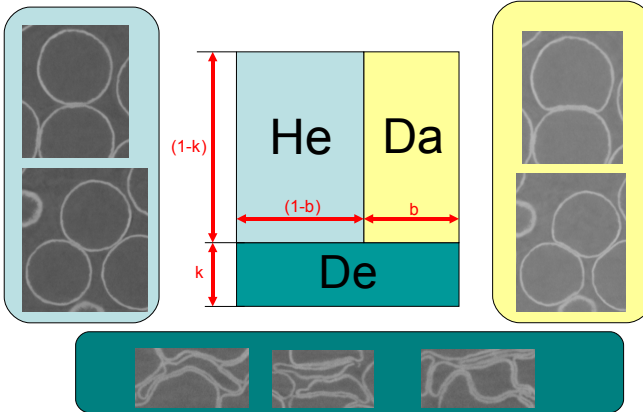
## Présentation



Changement de phase : Weibul

# Modèle phénoménologique

## Présentation

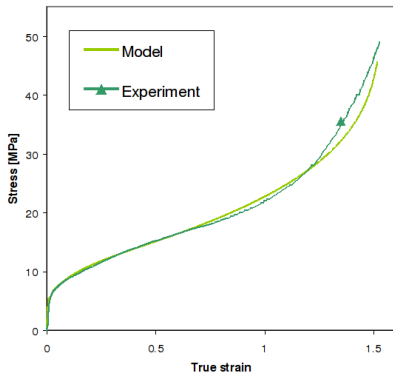


Changement de phase : Weibul

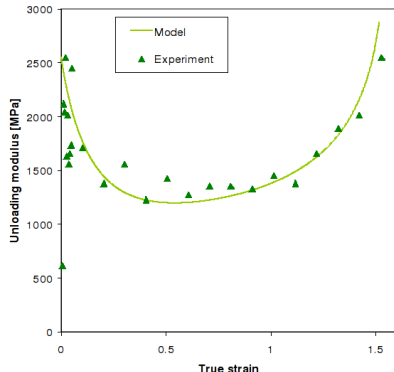
# Modèle phénoménologique

## Réponse

### Contrainte-Déformation



### Module de décharge

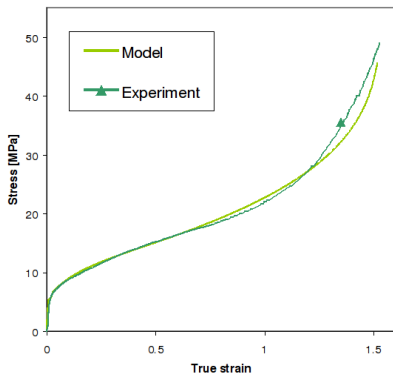


Changement de densité : lois puissance

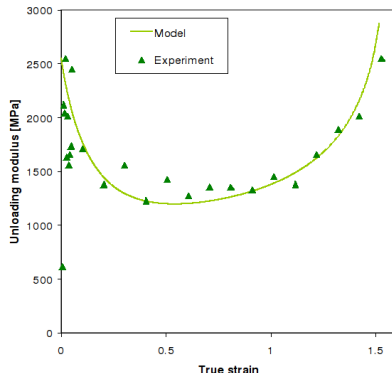
# Modèle phénoménologique

## Réponse

### Contrainte-Déformation



### Module de décharge

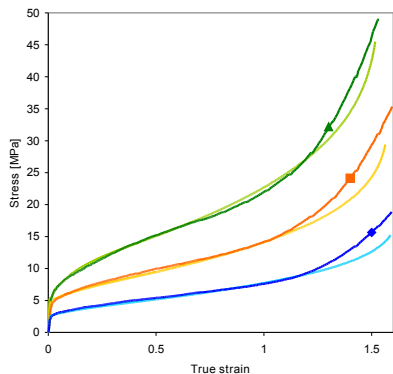


Changement de densité : lois puissance

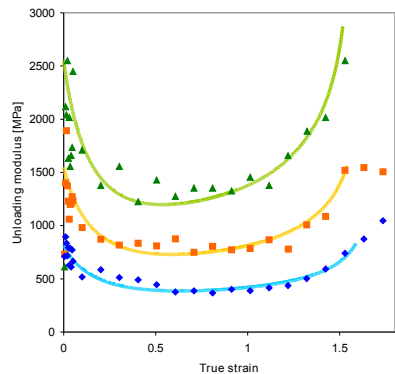
# Modèle phénoménologique

## Réponse

### Contrainte-Déformation



### Module de décharge

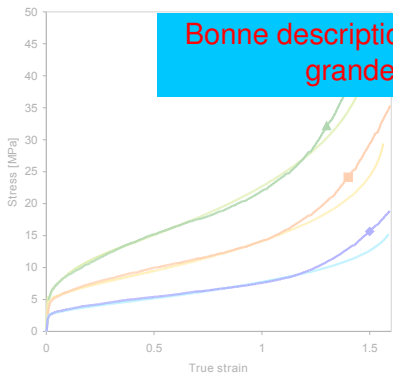


Changement de densité : lois puissance

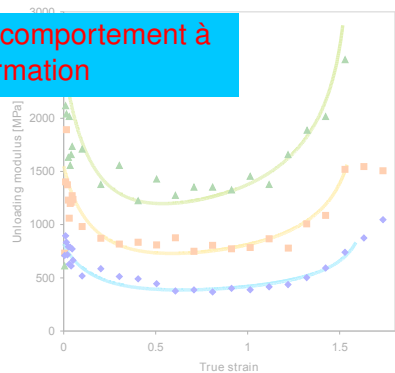
# Modèle phénoménologique

## Réponse

Contrainte-Déformation



Module de décharge



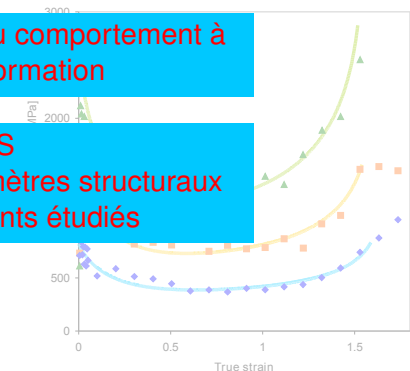
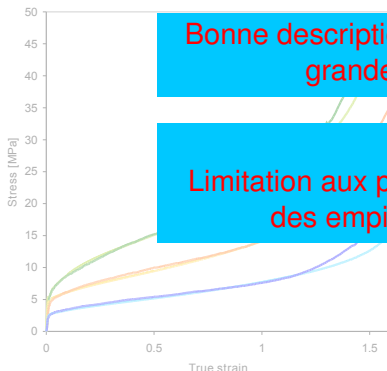
Changement de densité : lois puissance

# Modèle phénoménologique

## Réponse

Contrainte-Déformation

Module de décharge



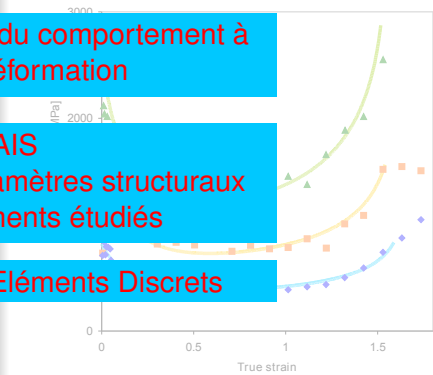
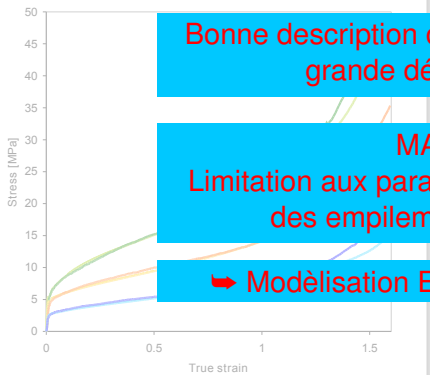
Changement de densité : lois puissance

# Modèle phénoménologique

## Réponse

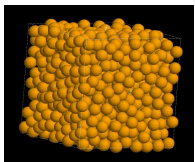
Contrainte-Déformation

Module de décharge



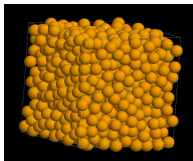
Changement de densité : lois puissance

# Méthode des Eléments Discrets

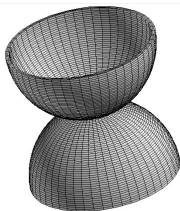


Empilement

# Méthode des Eléments Discrets

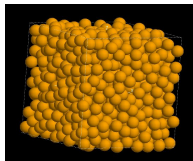


Empilement

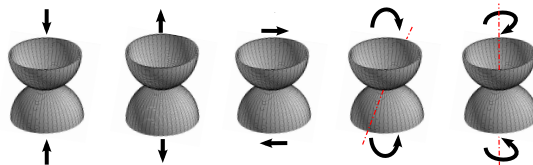


Contact

# Méthode des Eléments Discrets

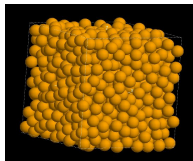


Empilement

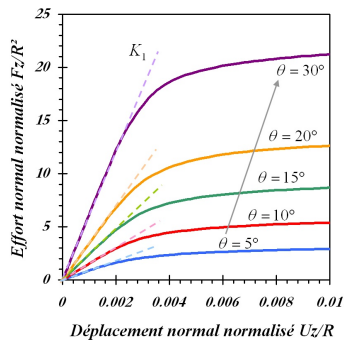
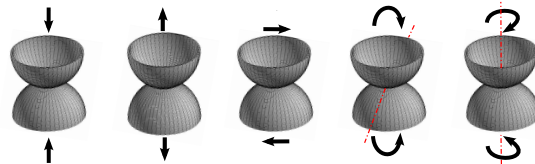


[Fallet, 2008]

# Méthode des Eléments Discrets

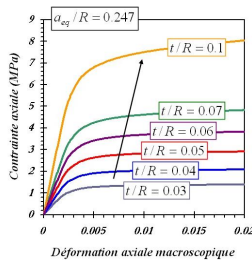
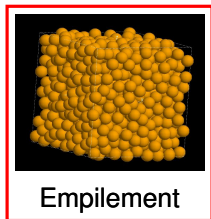


Empilement



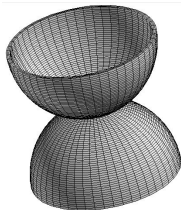
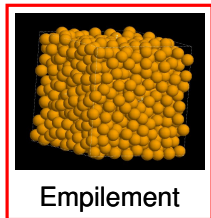
[Fallet, 2008]

# Méthode des Eléments Discrets

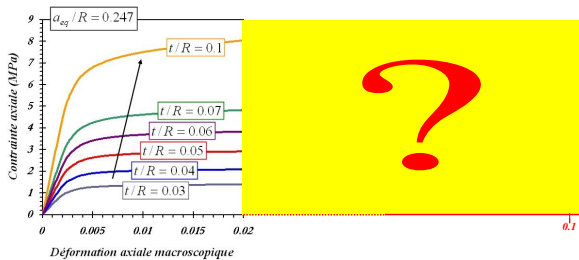


[Fallet, 2008]

# Méthode des Eléments Discrets

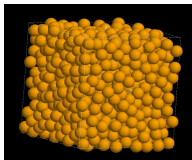


Contact

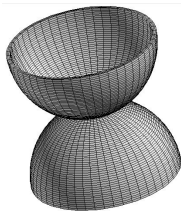
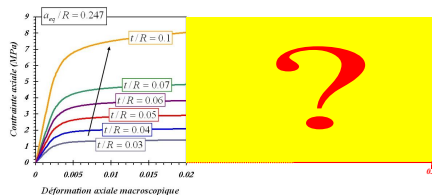


[Fallet, 2008]

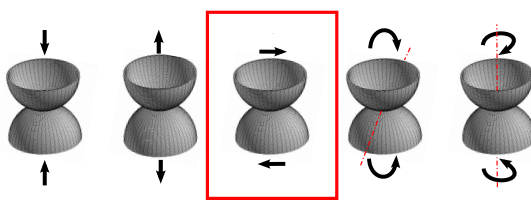
# Méthode des Eléments Discrets



Empilement



Contact



[Fallet, 2008]

# Méthode des Eléments Discrets

Extension des lois

Evolution du module  
de décharge

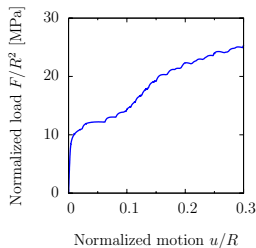
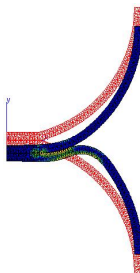
Influence des  
conditions aux limites

# Méthode des Eléments Discrets

Extension des lois

Evolution du module  
de décharge

Influence des  
conditions aux limites

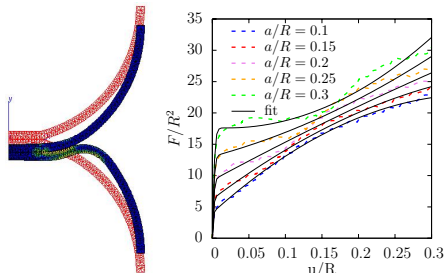


# Méthode des Eléments Discrets

Extension des lois

Evolution du module  
de décharge

Influence des  
conditions aux limites

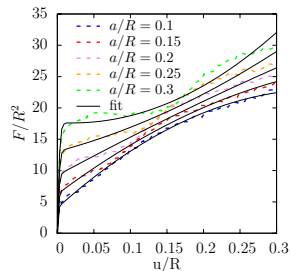
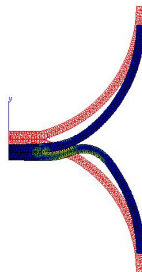


# Méthode des Eléments Discrets

Extension des lois

Evolution du module  
de décharge

Influence des  
conditions aux limites

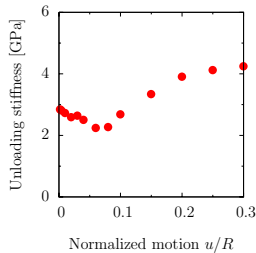
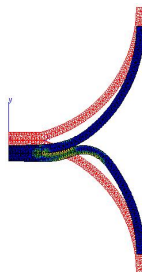


Simulations de sphères sans cols

# Méthode des Eléments Discrets

Extension des lois

Evolution du module  
de décharge

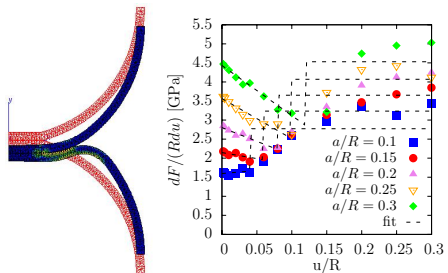


Influence des  
conditions aux limites

# Méthode des Eléments Discrets

Extension des lois

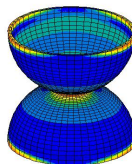
Evolution du module  
de décharge



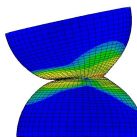
Influence des  
conditions aux limites

# Méthode des Eléments Discrets

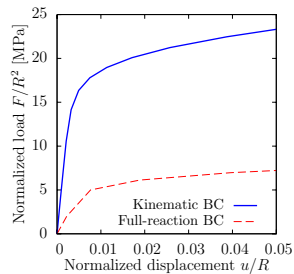
Extension des lois



Evolution du module  
de décharge

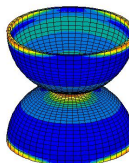


Influence des  
conditions aux limites

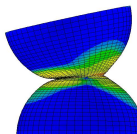


# Méthode des Eléments Discrets

Extension des lois



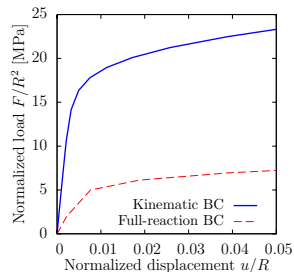
Evolution du module de décharge



Influence des conditions aux limites



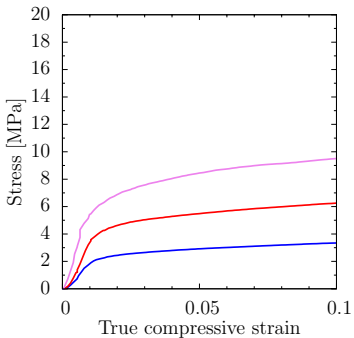
Loi de cisaillement



# Méthode des Eléments Discrets

Confrontation modèles-expériences

## Contrainte-déformation



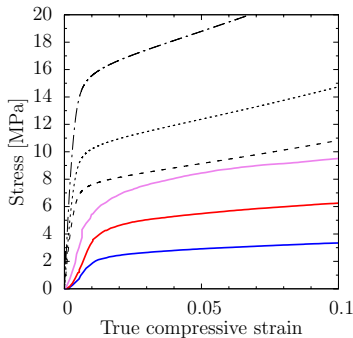
Correction taille des cols ( $a \searrow 20\%$ )

Correction loi de cisaillement (facteur 4)

# Méthode des Eléments Discrets

Confrontation modèles-expériences

## Contrainte-déformation

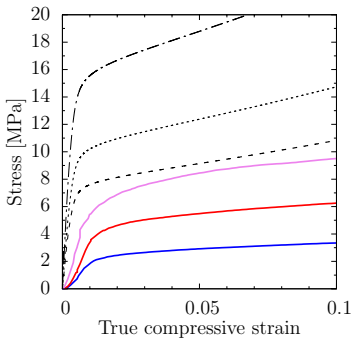


Correction taille des cols ( $a \searrow 20\%$ )  
Correction loi de cisaillement (facteur 4)

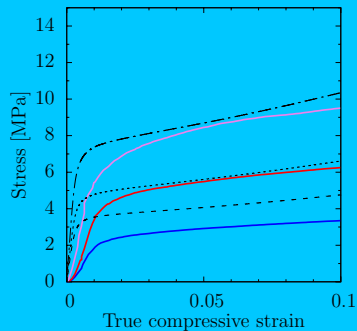
# Méthode des Eléments Discrets

Confrontation modèles-expériences

## Contrainte-déformation



## Contrainte-déformation

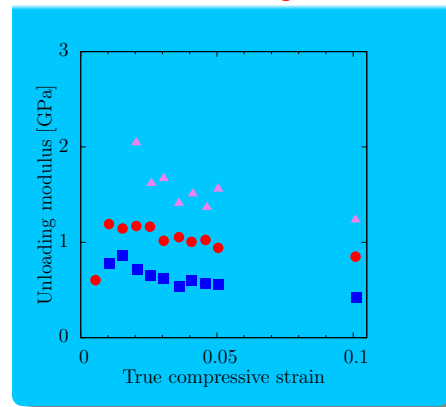


Correction taille des cols ( $a \searrow 20\%$ )  
Correction loi de cisaillement (facteur 4)

# Méthode des Eléments Discrets

Confrontation modèles-expériences

## Module de décharge

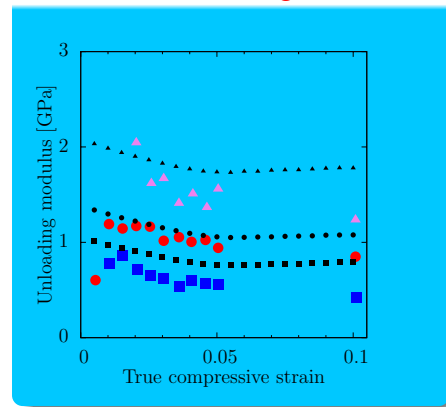


Correction taille des cols ( $a \searrow 20\%$ )  
Correction loi de cisaillement (facteur 4)

# Méthode des Eléments Discrets

Confrontation modèles-expériences

## Module de décharge



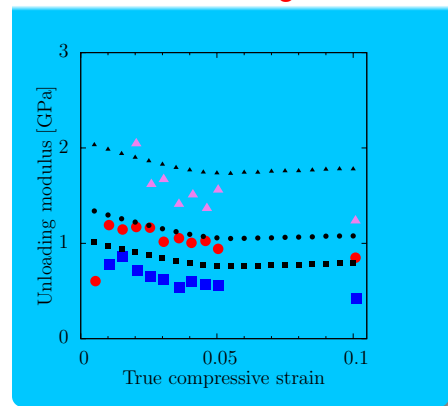
Correction taille des cols ( $a \searrow 20\%$ )  
Correction loi de cisaillement (facteur 4)

# Méthode des Eléments Discrets

Confrontation modèles-expériences

## Module de décharge

Baisse du module :



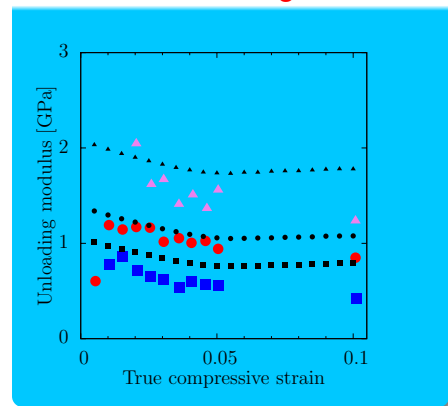
Correction taille des cols ( $a \searrow 20\%$ )  
Correction loi de cisaillement (facteur 4)

# Méthode des Eléments Discrets

Confrontation modèles-expériences

## Module de décharge

Baisse du module :  
→ Effet géométrique



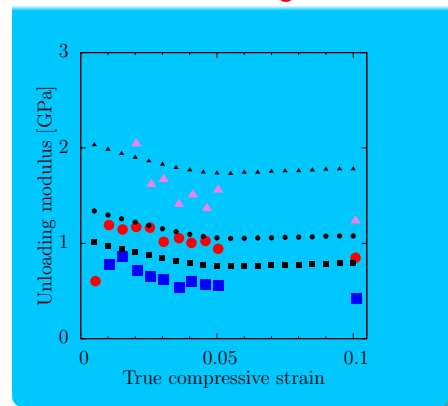
Correction taille des cols ( $a \searrow 20\%$ )  
Correction loi de cisaillement (facteur 4)

# Méthode des Eléments Discrets

Confrontation modèles-expériences

## Module de décharge

Baisse du module :  
→ Effet géométrique  
→ Matériau constitutif



Correction taille des cols ( $a \searrow 20\%$ )  
Correction loi de cisaillement (facteur 4)

# Sollicitation uniaxiale : Bilan



Données expérimentales



Modèle



Evolution



Endommagement

# Sollicitation uniaxiale : Bilan



Données expérimentales

Compression  
Traction



Modèle



Evolution



Endommagement

# Sollicitation uniaxiale : Bilan



Données expérimentales

Compression  
Traction



Modèle

Phénoménologique



Evolution



Endommagement

# Sollicitation uniaxiale : Bilan



Données expérimentales

Compression  
Traction



Modèle

Phénoménologique



Evolution

DEM + Corrections



Endommagement

# Sollicitation uniaxiale : Bilan



Données expérimentales

Compression  
Traction



Modèle

Phénoménologique



Evolution

DEM + Corrections



Endommagement

Géométrique  
Porosité parois

# Objectif



# Objectif

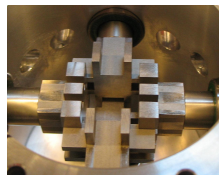


Sollicitations hors axes      Critère de plasticité

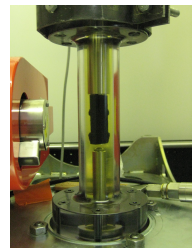
# Essais mécaniques

Compression multiaxiale

3 axes - EPFL



Confinement - 3SR



Taille d'échantillon limitée

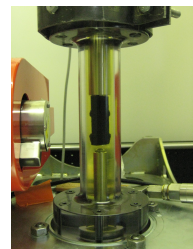
# Essais mécaniques

Compression multiaxiale

3 axes - EPFL



Confinement - 3SR

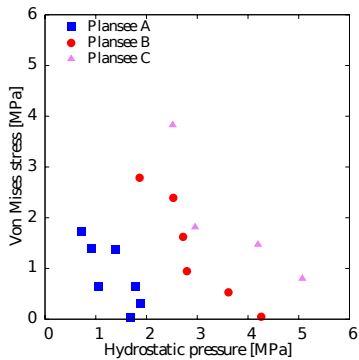


Taille d'échantillon limitée

# Essais multiaxes

## 3 axes

### Critère de plasticité

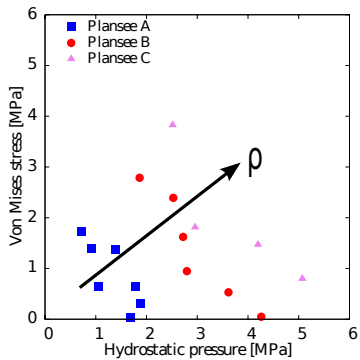


Quel est le critère ?

# Essais multiaxes

## 3 axes

### Critère de plasticité

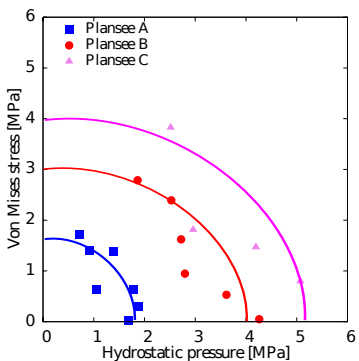


Quel est le critère ?

# Essais multiaxes

## 3 axes

### Critère de plasticité



### Critère elliptique

$$f(\underline{\sigma}) = \sqrt{Ap^2 + Bq^2} - \sigma_y$$

$$p = \frac{1}{3} \text{Trace}(\underline{\sigma})$$

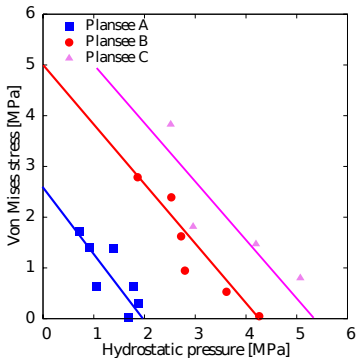
$$q = \sqrt{\frac{3}{2} \underline{s} : \underline{s}}$$

Quel est le critère ?

# Essais multiaxes

## 3 axes

### Critère de plasticité



### Drucker-Prager

$$f(\underline{\sigma}) = q - \frac{\sigma_y - 3\alpha p}{1 - \alpha}$$

$$p = \frac{1}{3} \text{Trace}(\underline{\sigma})$$

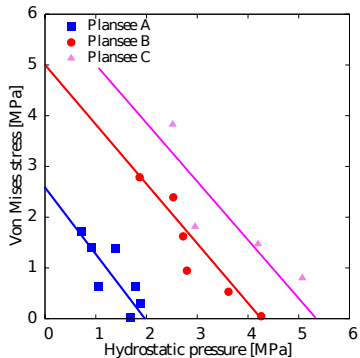
$$q = \sqrt{\frac{3}{2} \underline{s} : \underline{s}}$$

Quel est le critère ?

# Essais multiaxes

## 3 axes

### Critère de plasticité

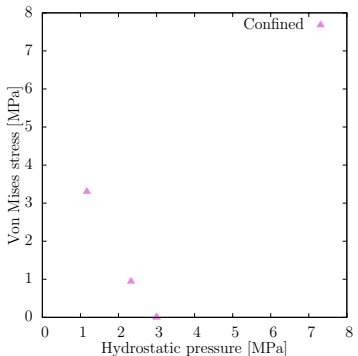


Quel est le critère ?

# Essais multiaxes

Comparaison à la DEM

## Critère de plasticité

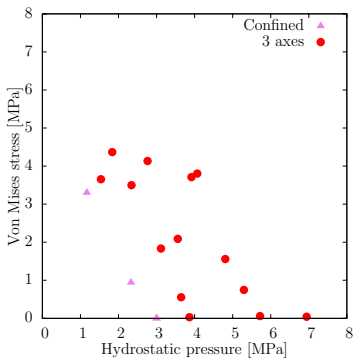


Description possible de la surface par la DEM.  
MAIS sensibilité aux lois de contact

# Essais multiaxes

Comparaison à la DEM

## Critère de plasticité

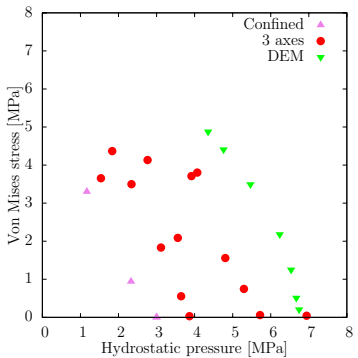


Description possible de la surface par la DEM.  
MAIS sensibilité aux lois de contact  
➡ Critère elliptique ?

# Essais multiaxes

Comparaison à la DEM

## Critère de plasticité

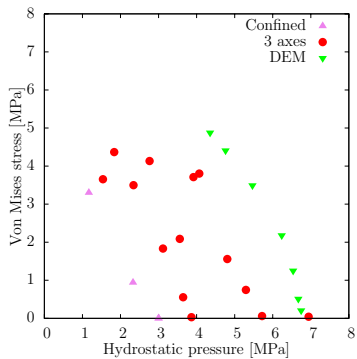


Description possible de la surface par la DEM.  
MAIS sensibilité aux lois de contact  
➡ Critère elliptique ?

# Essais multiaxes

Comparaison à la DEM

## Critère de plasticité



Description possible de la surface par la DEM.  
MAIS sensibilité aux lois de contact  
→ Critère elliptique ?

# Contexte de l'étude

## Empilements ordonnés

S. GASSER  
(ONERA, 2003)  
Elastoplasticité et  
acoustique



M.W. SANDERS  
(MIT, 2002)  
Elastoplasticité

## MAteriaux POreux (Empilements aléatoires)

F. MAMOUD  
(ONERA, 2007)  
Elasticité et fluage

O. CATY  
(INSA Lyon, 2008)  
Fatigue

A. FALLET  
(Grenoble INP, 2008)  
Initiation plasticité et  
endommagement



## Milieux enchevêtrés

C. BARBIER  
(Grenoble INP,  
2008)  
Modélisation de  
milieu enchevêtré



J-P. MASSE  
(Grenoble INP,  
2008)  
Structures  
sandwichs fines



# Contexte de l'étude

## Empilements ordonnés

## Milieux enchevêtrés



Peu de données expérimentales sur le matériau



Pas de modèles pour les grandes déformations



Peu de connaissance sur l'endommagement

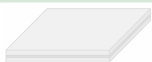


Pas de données expérimentales exploitables sur les structures

A. FALLET  
(Grenoble INP, 2008)  
Initiation plasticité et endommagement



Structures sandwichs fines



# Contexte de l'étude

## Empilements ordonnés

## Milieux enchevêtrés



Données expérimentales sur le matériau



Pas de modèles pour les grandes déformations



Peu de connaissance sur l'endommagement



Pas de données expérimentales exploitables sur les structures

A. FALLET  
(Grenoble INP, 2008)  
Initiation plasticité et endommagement

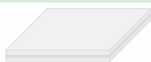


C. BARBIER  
(Grenoble INP, 2008)

Modélisation de milieux enchevêtrés

C. BARBIER  
(Grenoble INP, 2008)

Structures sandwichs fines



# Contexte de l'étude

## Empilements ordonnés

## Milieux enchevêtrés



Données expérimentales sur le matériau



Modèle pour les grandes déformations



Peu de connaissance sur l'endommagement

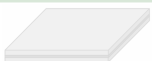


Pas de données expérimentales exploitables sur les structures

A. FALLET  
(Grenoble INP, 2008)  
Initiation plasticité et endommagement



Structures sandwichs fines



## Contexte de l'étude

## Empilements ordonnés

- ✓ Données expérimentales sur le matériau
  - ✓ Modèle pour les grandes déformations
  - ✓ Connaissance sur l'endommagement
  - ✗ Pas de données expérimentales exploitable pour les structures

A. FALLET  
(Grenoble INP, 2008)  
Initiation plasticité et  
endommagement

# Structures sandwichs fines

# Contexte de l'étude

## Empilements ordonnés

## Milieux enchevêtrés

S. GASSI  
([Gassiat et al., 2008](#))  
Elastostatique

M. W. SANDERS  
([Sanderson et al., 2008](#))  
Elastoplasticité

M. ALEXANDROV  
([Alexandrov et al., 2008](#))  
Matériaux à grande déformations

M. ABOU MOUD  
([Abou Moud et al., 2008](#))  
Elastocinétique et fluage

O. CATY  
([Caty et al., 2008](#))  
Fatigue

A. FALLET  
([Fallet et al., 2008](#))  
Initiation plasticité et endommagement



Données expérimentales sur le matériau



Modèle pour les grandes déformations



Connaissance sur l'endommagement



Expérimentation sur les structures



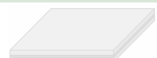
C. BARBIER  
([Barbier et al., 2008](#))  
Modélisation de milieux enchevêtrés

J-P. MASSE  
([Masse et al., 2008](#))  
Modélisation de milieux enchevêtrés

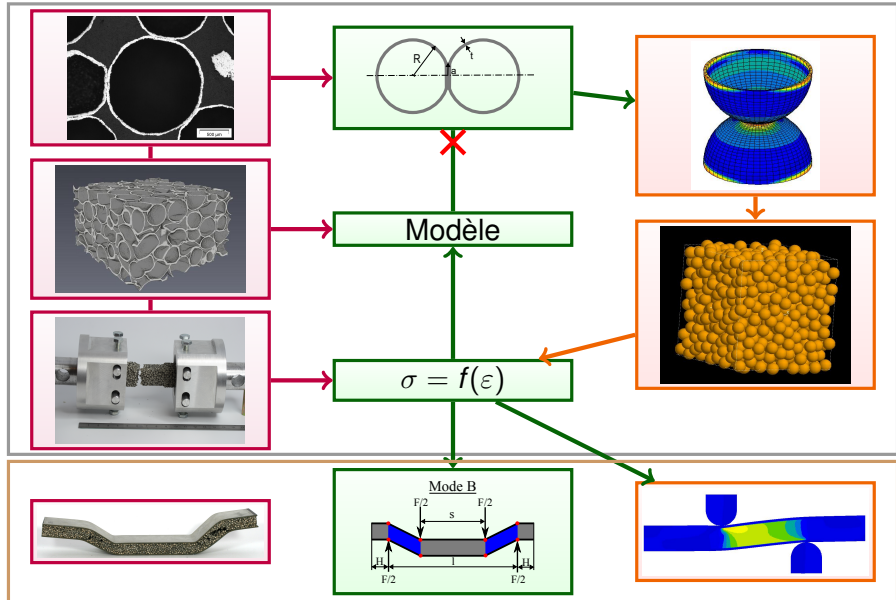
J-P. MASSE  
([Masse et al., 2008](#))  
Modélisation de milieux enchevêtrés

J-P. MASSE  
([Masse et al., 2008](#))  
Modélisation de milieux enchevêtrés

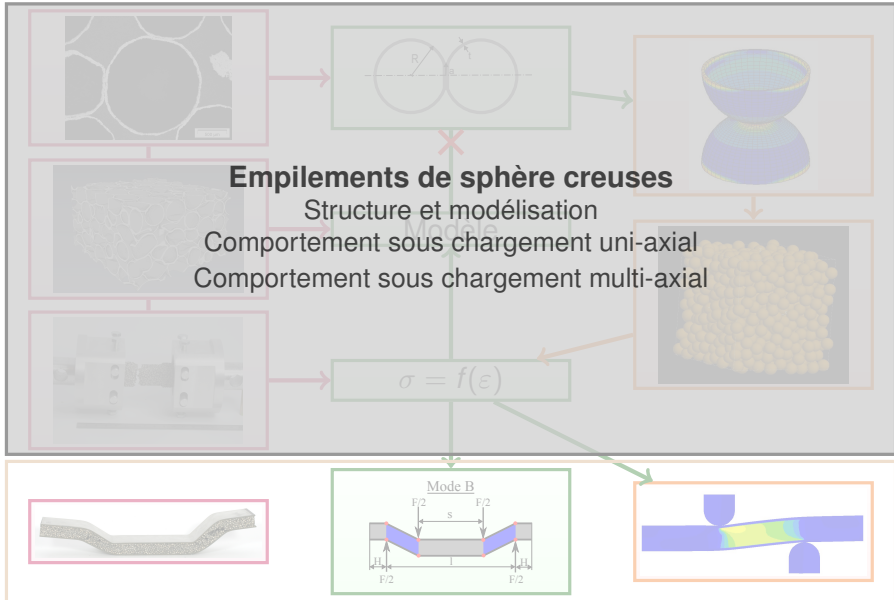
Structures sandwichs fines



# Intégration dans des structures



# Intégration dans des structures



# Intégration dans des structures

## Empilements de sphère creuses

Structure et modélisation

Comportement sous chargement uni-axial

Comportement sous chargement multi-axial

## Structures sandwich

Caractérisation des structures

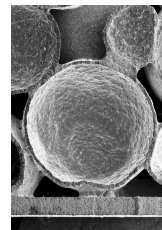
Indentation de plaques

Flexion 4-points de poutres

# Structures sandwich

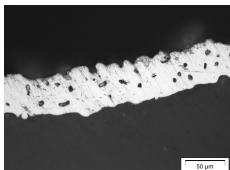
## Echantillons

- Matériaux :
  - Coeur :  $\rho = 600 \text{kg/m}^3$
  - Peaux : 314 (norm AISI)
- Dimensions :
  - 3 épaisseurs de peau ( $t$ ) : 0.4, 1.0 and 1.5mm
  - 4 épaisseurs de coeur ( $c$ ) : 14, 18, 24 and 28 mm

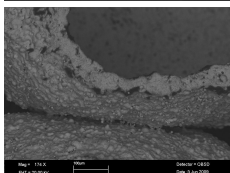


# Structure du matériau

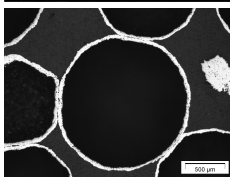
Avant intégration



Porosité des parois



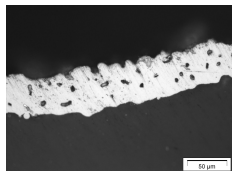
Surface de contact faible



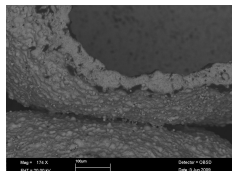
Structure saine

# Structure du matériau

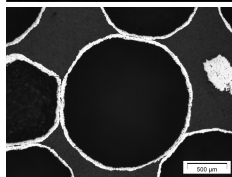
Avant intégration



Porosité des parois

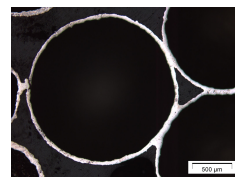
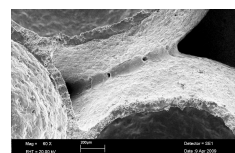
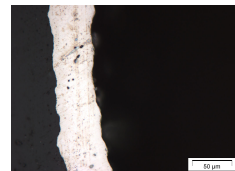


Surface de contact faible



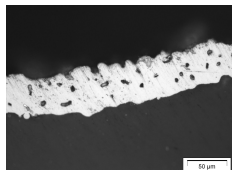
Structure saine

Après intégration

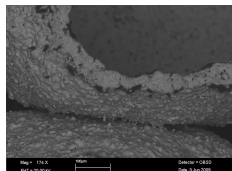


# Structure du matériau

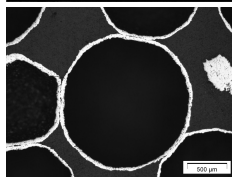
Avant intégration



Porosité des parois  
Parois denses

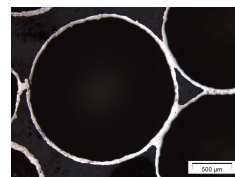
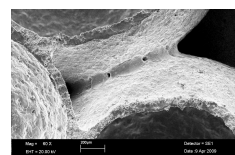
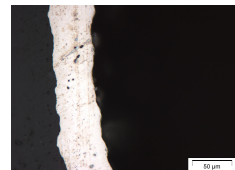


Surface de contact faible



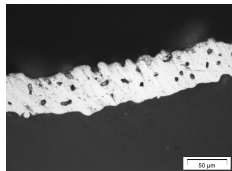
Structure saine

Après intégration

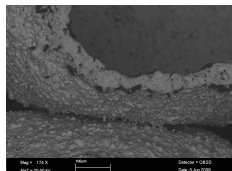


# Structure du matériau

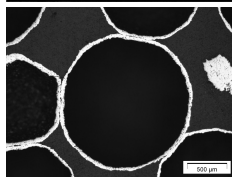
Avant intégration



Porosité des parois  
Parois denses

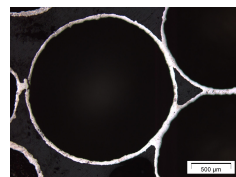
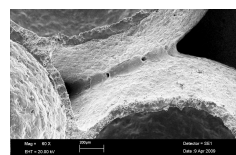
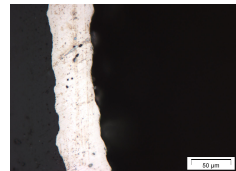


Surface de contact  
faible  
Surface de contact  
importante



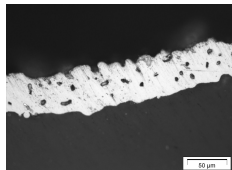
Structure saine

Après intégration

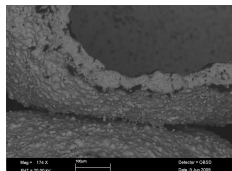


# Structure du matériau

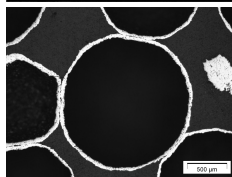
Avant intégration



Porosité des parois  
Parois denses

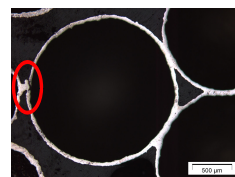
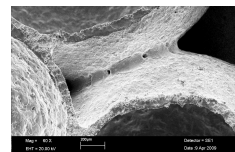
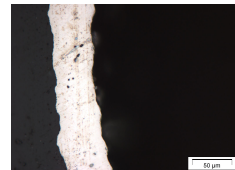


Surface de contact  
faible  
Surface de contact  
importante



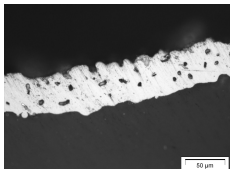
Structure saine  
Structure endommagée

Après intégration



# Structure du matériau

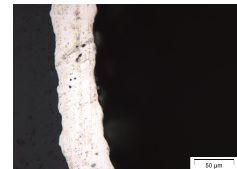
Avant intégration



Porosité des parois

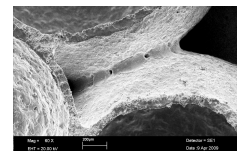
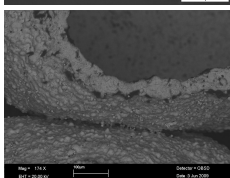
Parois denses

Après intégration



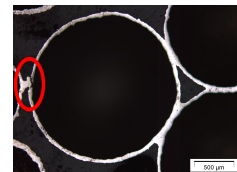
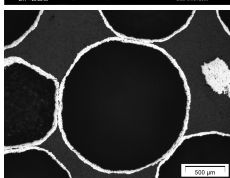
Surface de contact  
faible

Surface de contact  
importante



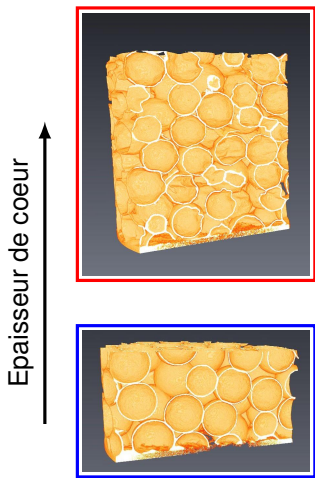
Structure saine

Structure endommagée

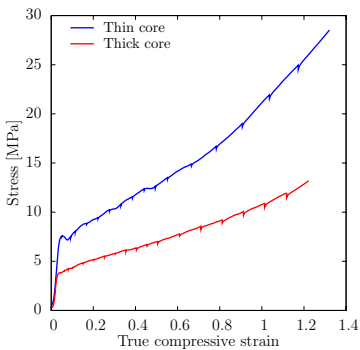
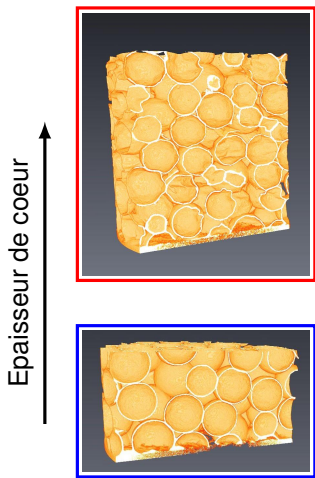


Forte modification du matériau lors de l'intégration dans les structures

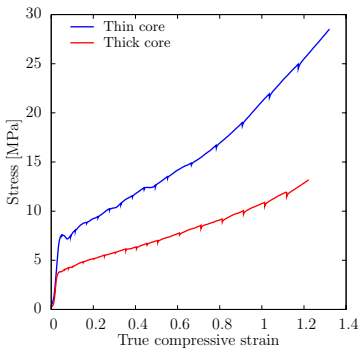
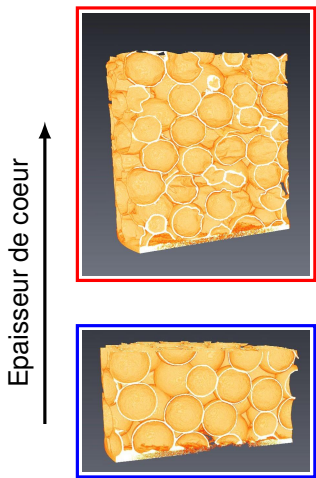
# Matériaux cœur



# Matériaux cœur

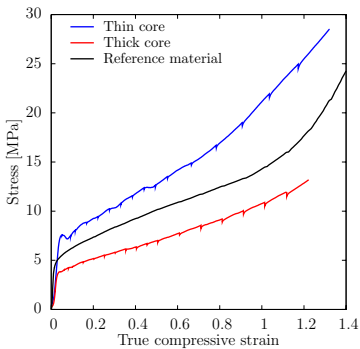
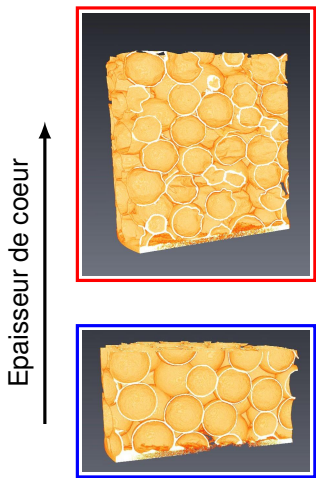


# Matériaux cœur



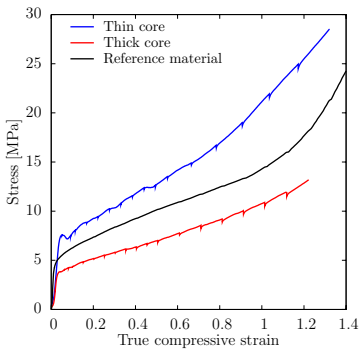
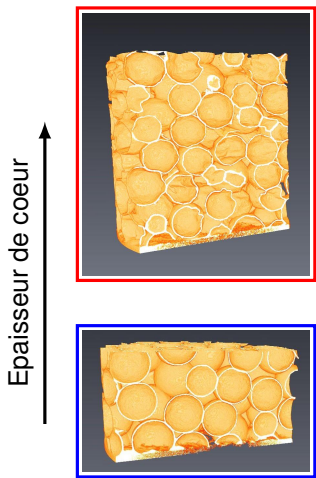
Influence de l'épaisseur du cœur

# Matériaux cœur



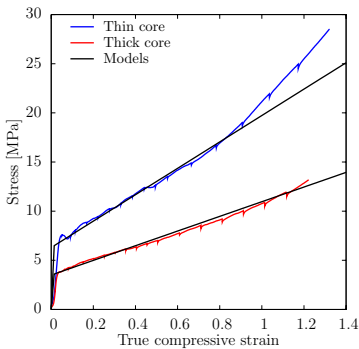
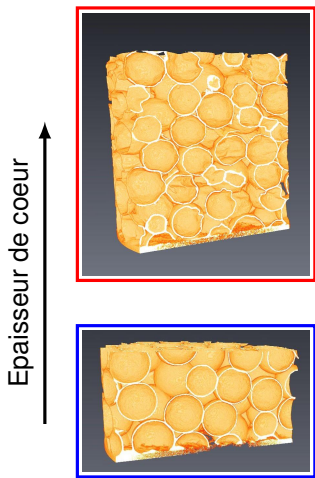
Influence de l'épaisseur du cœur

# Matériaux cœur



Influence de l'épaisseur du cœur  
Propriétés du cœur : modèles

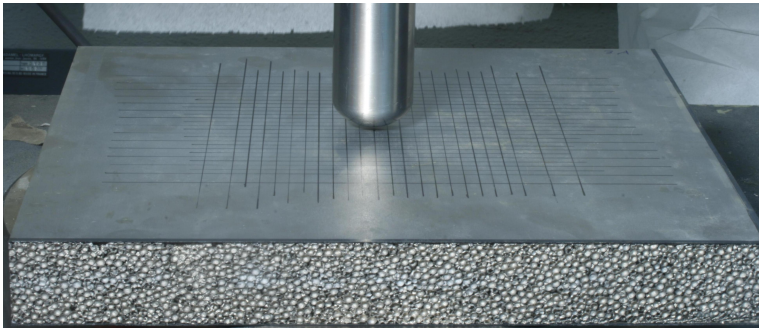
# Matériaux cœur



Influence de l'épaisseur du cœur  
Propriétés du cœur : modèles  
→ expériences

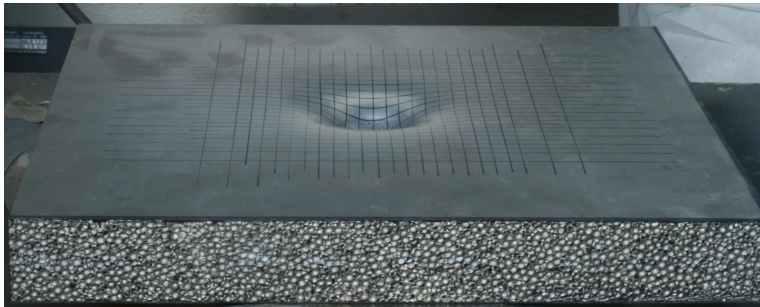
# Indentation

## Expériences



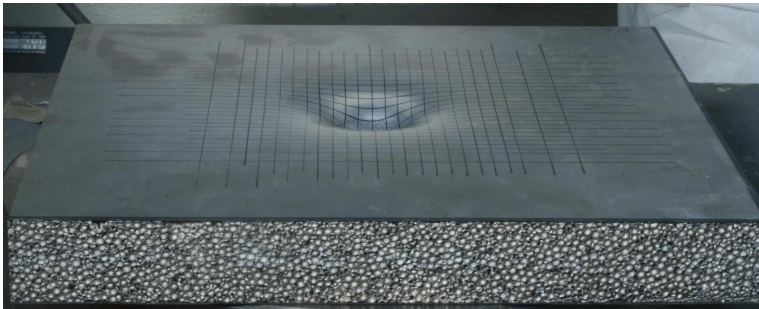
# Indentation

## Expériences



# Indentation

## Expériences

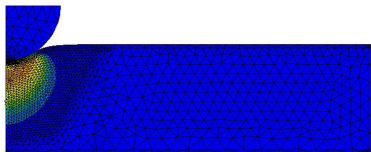


## Simulations Eléments Finis

Modélisation axisymétrique

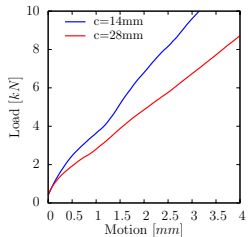
Peau élasto-plastique, Hollomon, Mises.

Cœur élasto-plastique, bi-linéaire, elliptique.



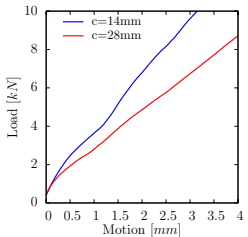
# Indentation

## Influence de l'épaisseur de cœur



# Indentation

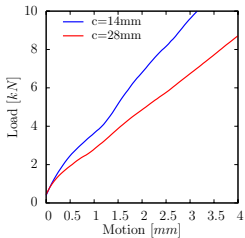
## Influence de l'épaisseur de cœur



- Influence de l'épaisseur du cœur
- Influence des propriétés du cœur

# Indentation

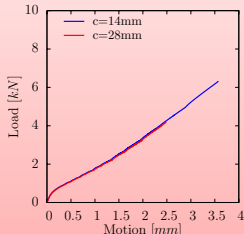
## Influence de l'épaisseur de coeur



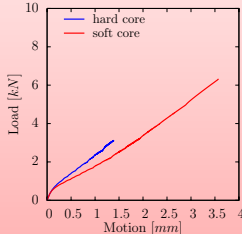
- Influence de l'épaisseur du coeur
- Influence des propriétés du coeur

## Eléments finis

### Epaisseur variable

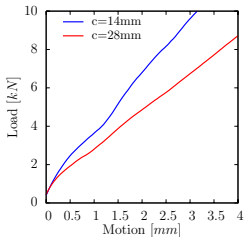


### Coeur variable



# Indentation

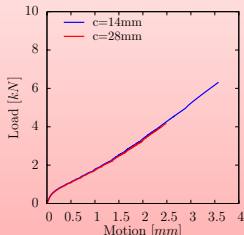
## Influence de l'épaisseur de coeur



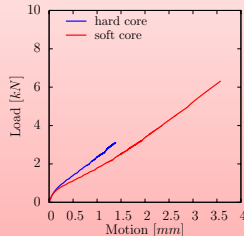
- Influence de l'épaisseur du cœur
- Influence des propriétés du cœur

## Eléments finis

### Épaisseur variable

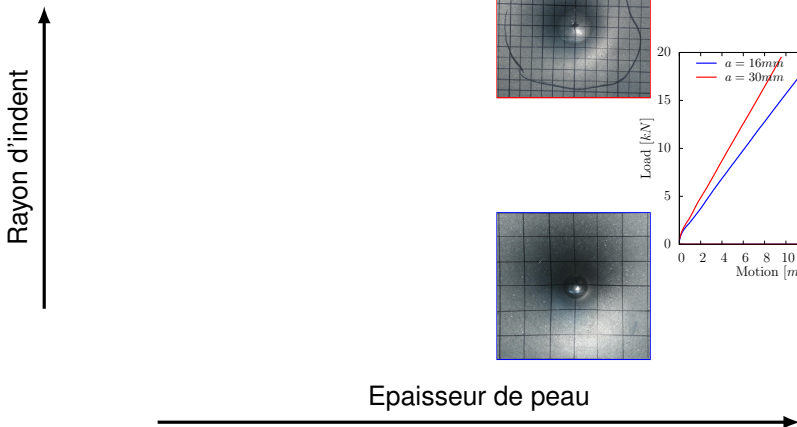


### Cœur variable



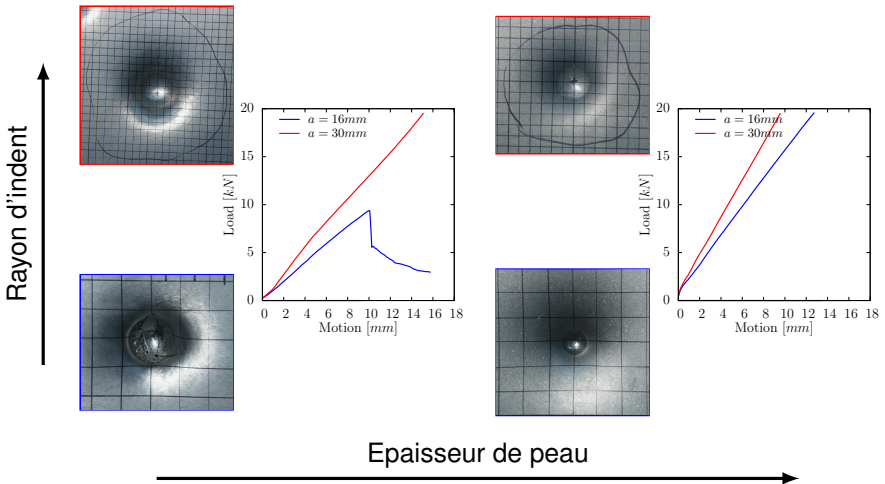
# Indentation

## Influence de l'indenteur



# Indentation

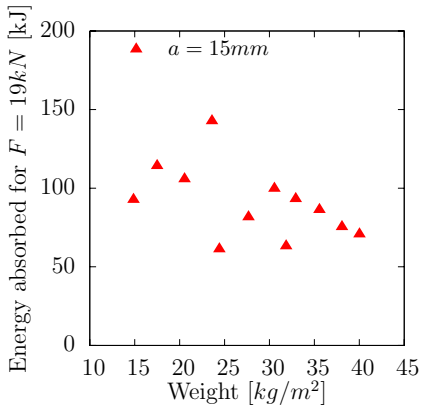
## Influence de l'indenteur



# Indentation

## Influence des dimensions

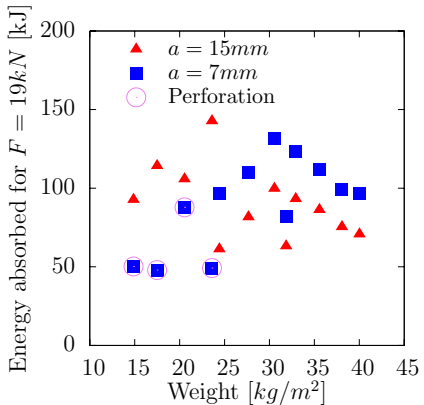
### Energie absorbée à réaction seuil



# Indentation

## Influence des dimensions

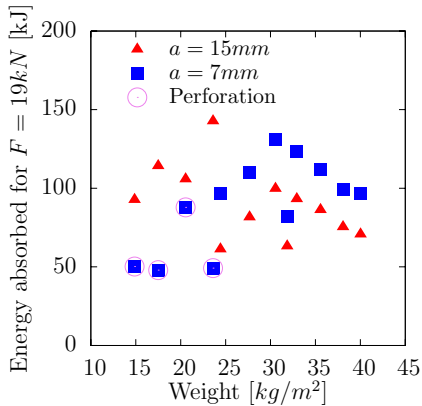
### Energie absorbée à réaction seuil



# Indentation

## Influence des dimensions

Energie absorbée à réaction seuil



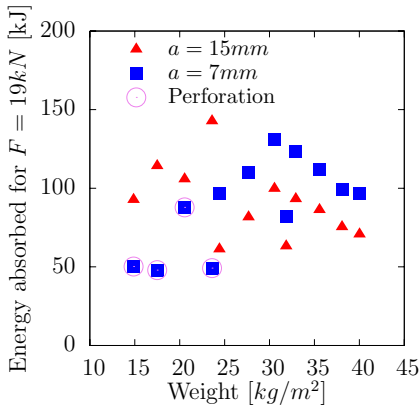
Sélection

Epaisseur de peau minimale  
à indenteur donné

# Indentation

## Influence des dimensions

Energie absorbée à réaction seuil



Sélection

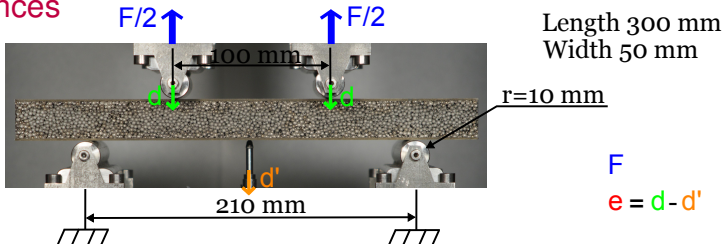
Epaisseur de peau minimale  
à indenteur donné



Sollicitations combinées  
→ Flexion 4-points

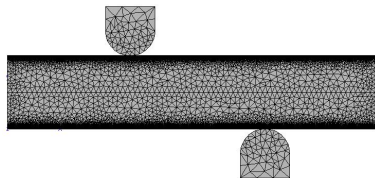
# Flexion 4-points

## Expériences



## Simulations Eléments Finis

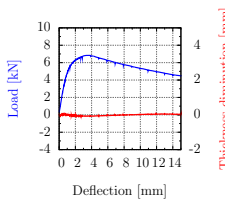
Modélisation déformations planes  
Peau élasto-plastique, Hollomon, Mises.  
Cœur élasto-plastique, bi-linéaire, elliptique.



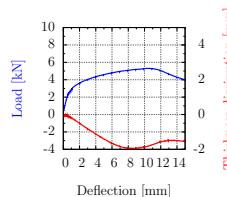
# Essais de flexion 4-points

## Modes d'endommagement

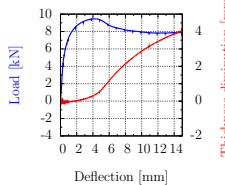
Cisaillement du coeur



Plastification des peaux



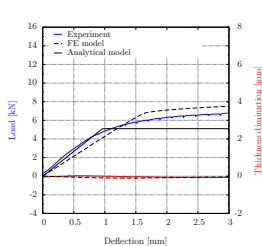
Indentation



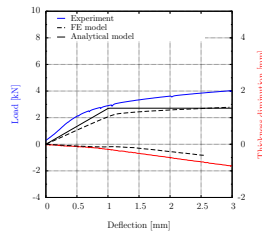
# Essais de flexion 4-points

## Modes d'endommagement

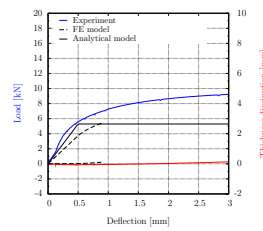
### Cisaillement du coeur



### Plastification des peaux

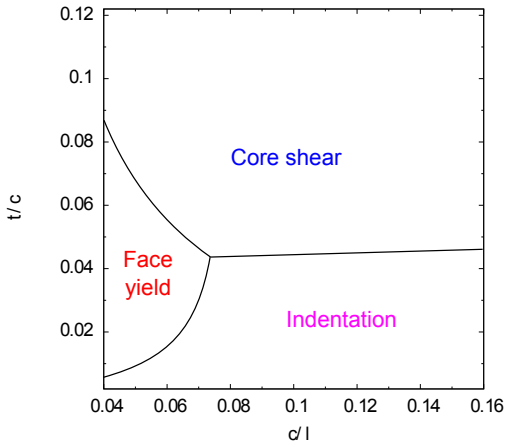


### Indentation



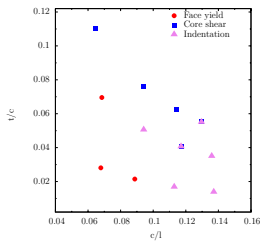
# Carte d'endommagement

## Modèle

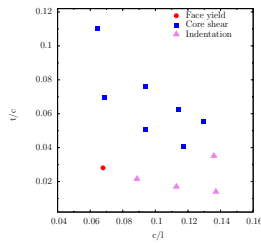


# Cartes d'endommagement

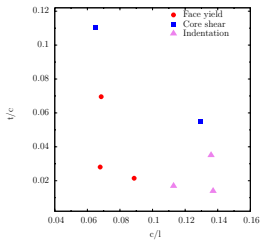
## Expériences



## Modèles analytiques



## Modèles EF

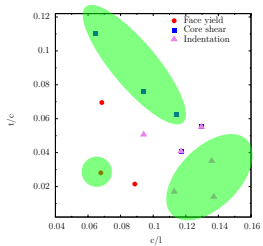


Limitation des modèles aux transitions

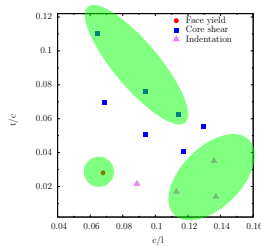
Bonne description par EF

# Cartes d'endommagement

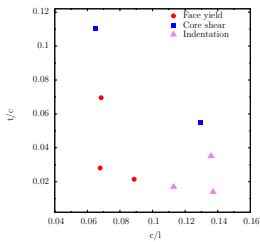
## Expériences



## Modèles analytiques



## Modèles EF

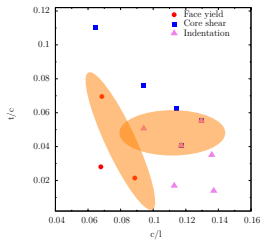


Limitation des modèles aux transitions

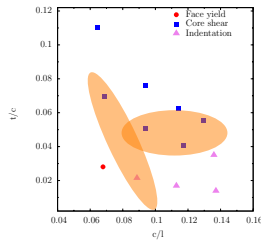
Bonne description par EF

# Cartes d'endommagement

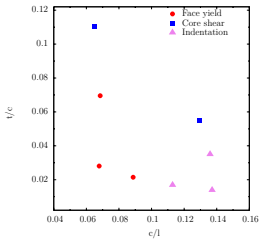
## Expériences



## Modèles analytiques



## Modèles EF

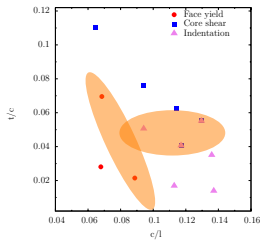


Limitation des modèles aux transitions

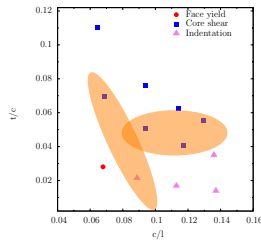
Bonne description par EF

# Cartes d'endommagement

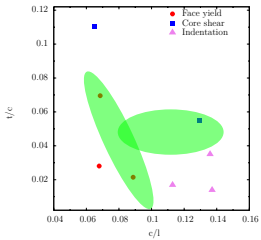
## Expériences



## Modèles analytiques



## Modèles EF

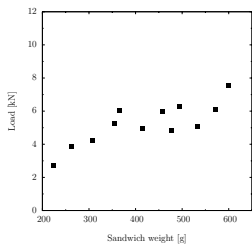


Limitation des modèles aux transitions

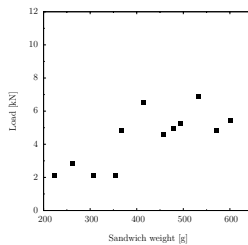
Bonne description par EF

# Forces critiques

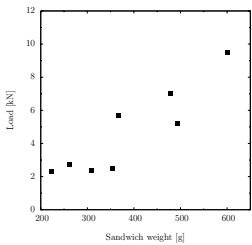
## Expériences



## Modèles analytiques



## Modèles EF

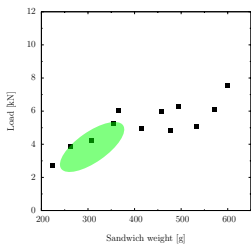


Niveau de contrainte

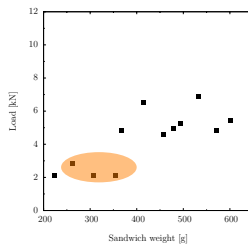
Propriétés de la peau ?

# Forces critiques

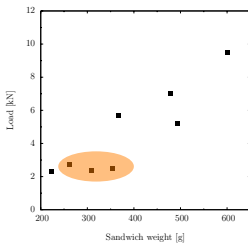
## Expériences



## Modèles analytiques



## Modèles EF

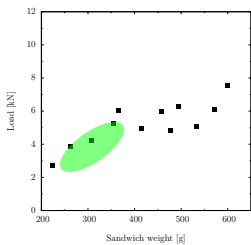


Niveau de contrainte

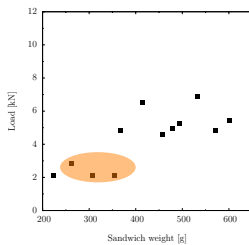
Propriétés de la peau ?

# Forces critiques

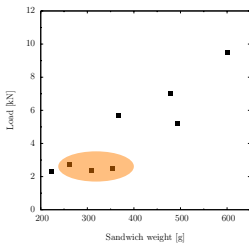
## Expériences



## Modèles analytiques



## Modèles EF

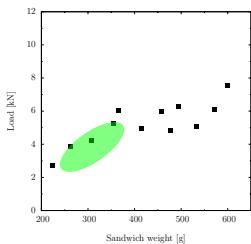


Niveau de contrainte

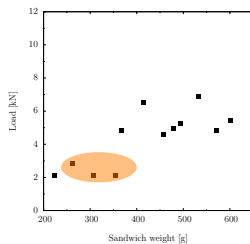
Propriétés de la peau ?

# Forces critiques

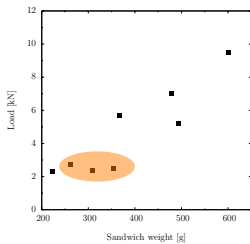
## Expériences



## Modèles analytiques



## Modèles EF



Niveau de contrainte

Propriétés de la peau ?

# Contexte de l'étude

## Empilements ordonnés

## Milieux enchevêtrés

S. GROSSI

M. W. SANDERS

C. BARBIER

(Grenoble INP,  
2008)



Données expérimentales sur le matériau

Elastoplasticité

Modélisation de  
milieu enchevêtré



Modèle pour les grandes déformations

MATERIAUX



Connaissance sur l'endommagement



Pas de données expérimentales exploitables sur les structures

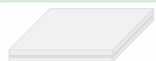
Elastoplastique

A. FALLET

(Grenoble INP, 2008)  
Initiation plasticité et  
endommagement



Structures  
sandwichs fines



## Contexte de l'étude

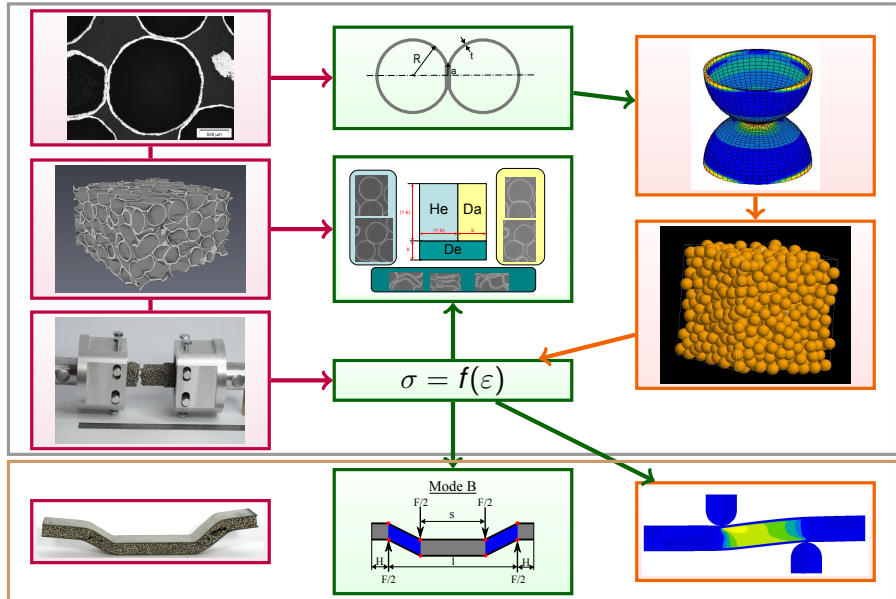
## Empilements ordonnés

- ✓ Données expérimentales sur le matériau
  - ✓ Modèle pour les grandes déformations
  - ✓ Connaissance sur l'endommagement
  - ✓ Données expérimentales paramétriques structures

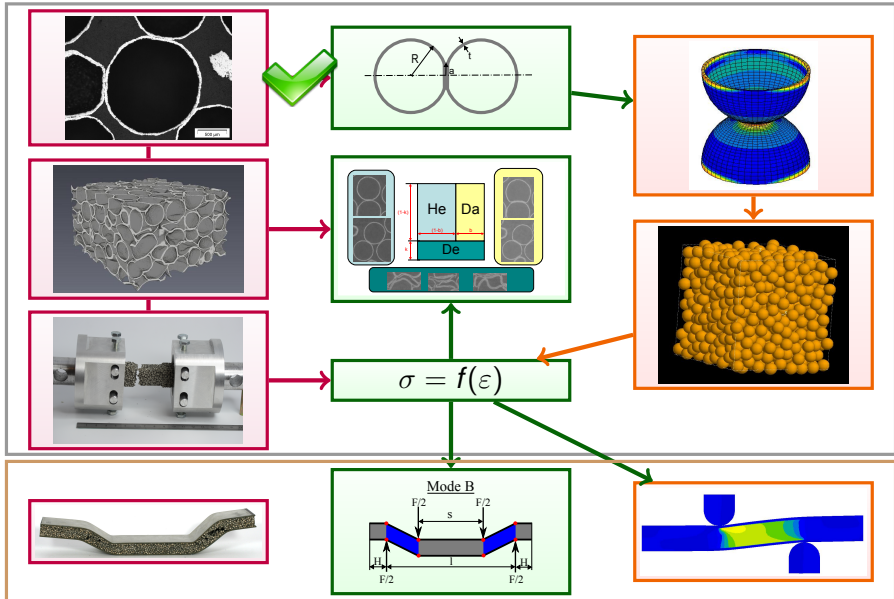
A. FALLET  
(Grenoble INP, 2008)  
Initiation plasticité et  
endommagement

# Structures sandwichs fines

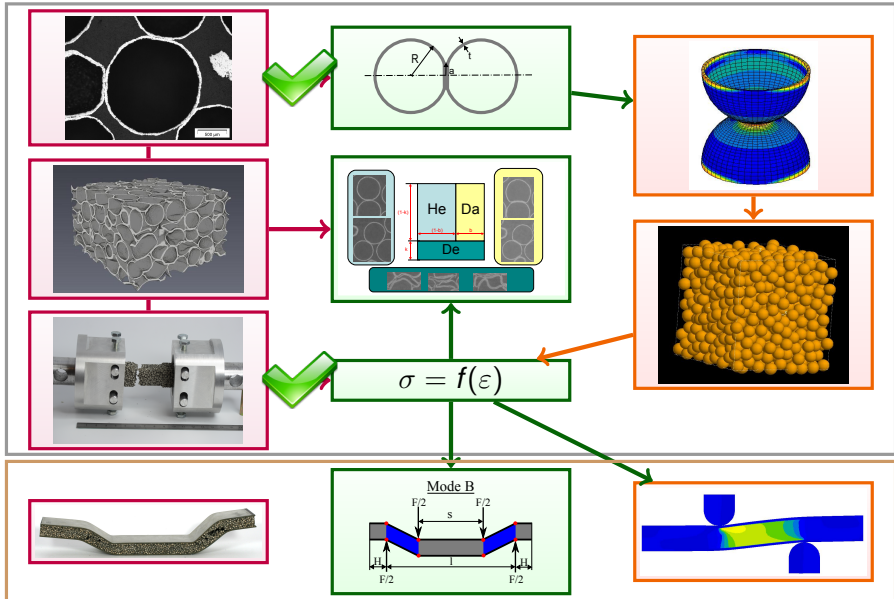
# Bilan



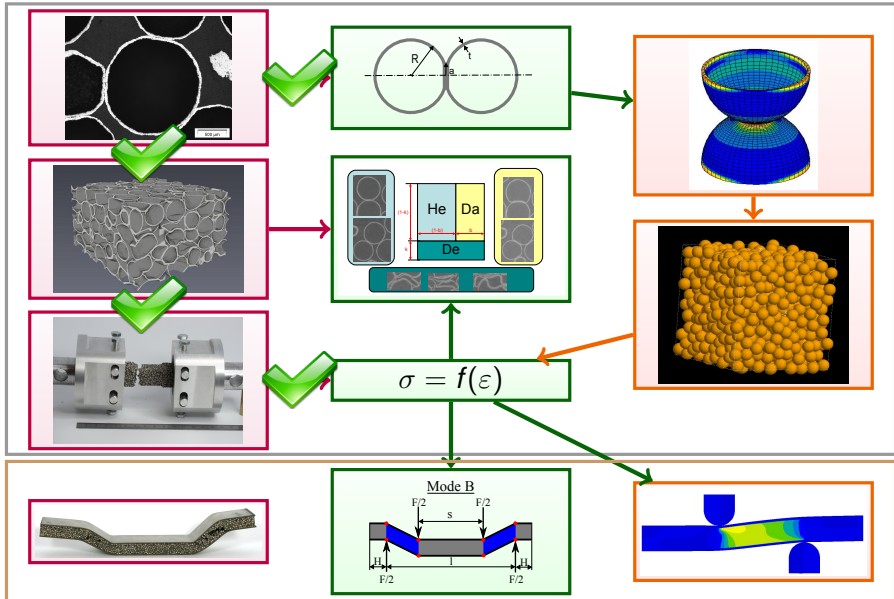
# Bilan



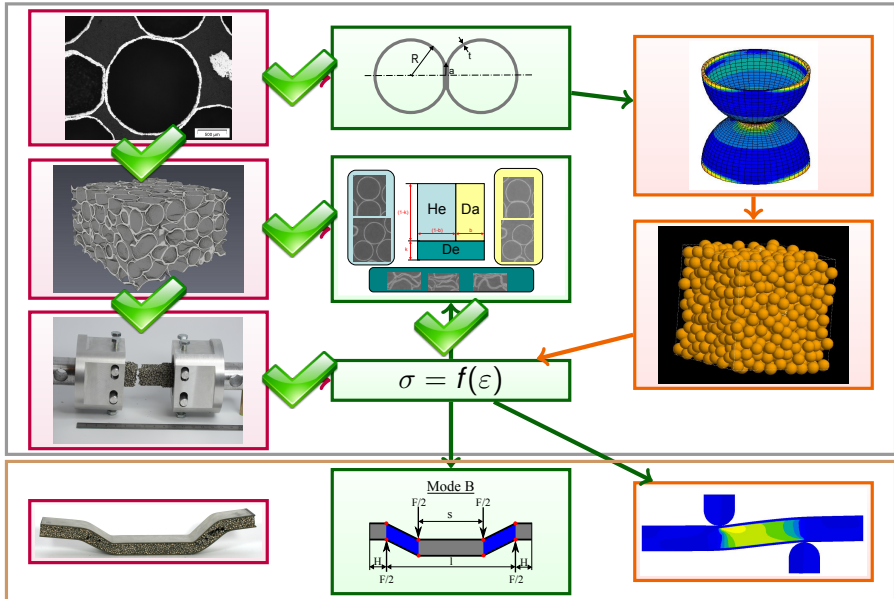
# Bilan



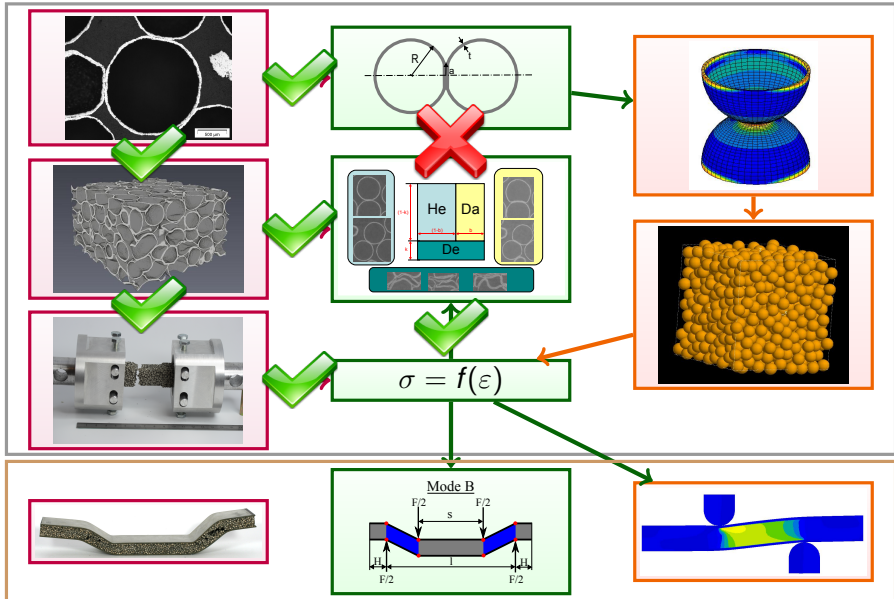
# Bilan



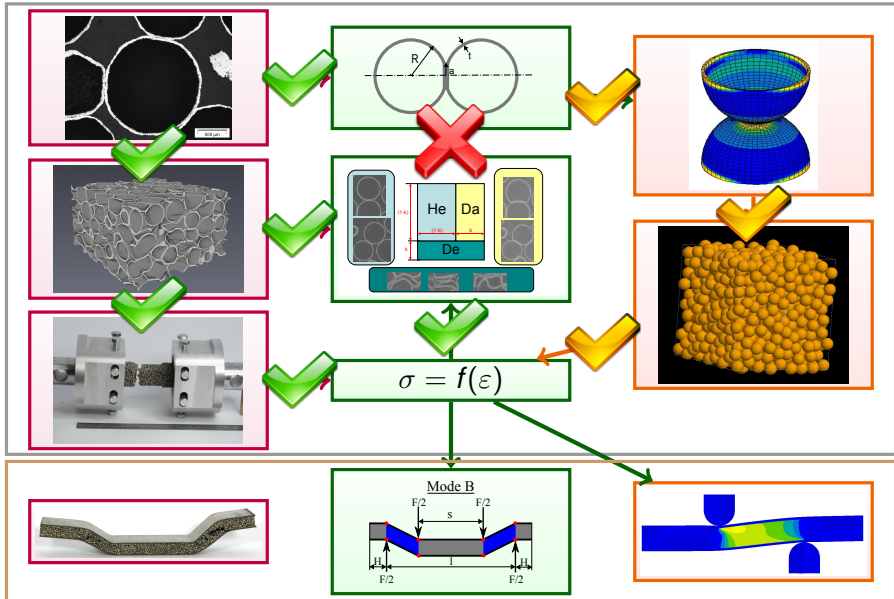
# Bilan



# Bilan



# Bilan



# Perspectives

## Amélioration de la DEM

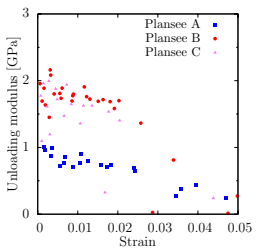
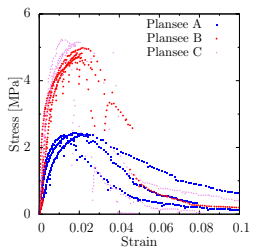
Epaisseur de coque t ↑



# Perspectives

## Amélioration de la DEM

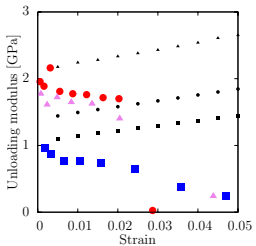
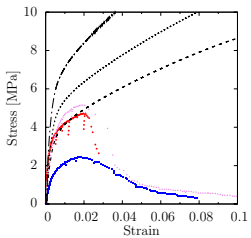
Epaisseur de coque t



# Perspectives

## Amélioration de la DEM

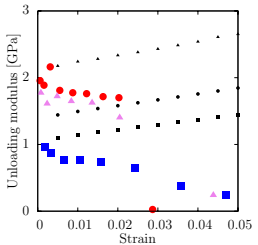
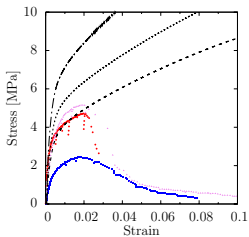
Epaisseur de coque t ↑



# Perspectives

## Amélioration de la DEM

Epaisseur de coque t ↑

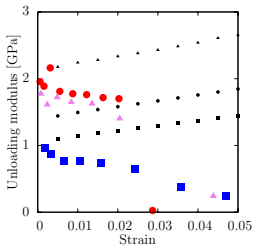
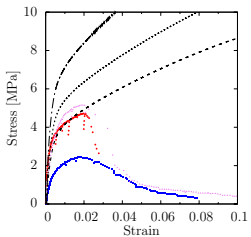


Critère de rupture

# Perspectives

## Amélioration de la DEM

Epaisseur de coque t ↑

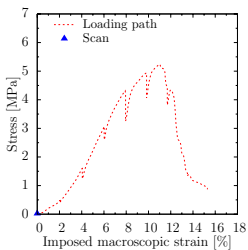


Critère de rupture  
Endommagement

# Perspectives

## Amélioration de la DEM

Epaisseur de coque t ↑

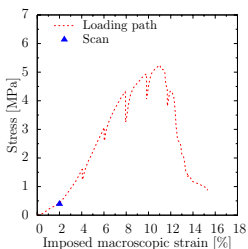


Critère de rupture  
Endommagement

# Perspectives

## Amélioration de la DEM

Epaisseur de coque t ↑

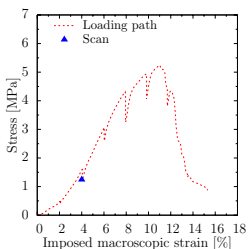


Critère de rupture  
Endommagement

# Perspectives

## Amélioration de la DEM

Epaisseur de coque t ↑

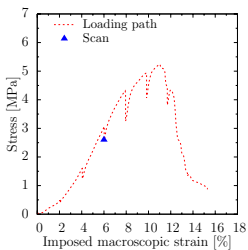


Critère de rupture  
Endommagement

# Perspectives

## Amélioration de la DEM

Epaisseur de coque t ↑

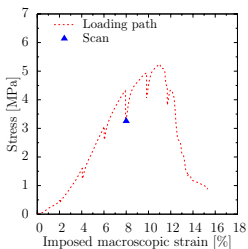


Critère de rupture  
Endommagement

# Perspectives

## Amélioration de la DEM

Epaisseur de coque t ↑

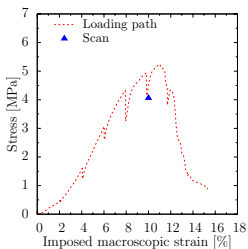


Critère de rupture  
Endommagement

# Perspectives

## Amélioration de la DEM

Epaisseur de coque t ↑

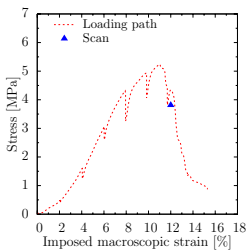


Critère de rupture  
Endommagement

# Perspectives

## Amélioration de la DEM

Epaisseur de coque t ↑

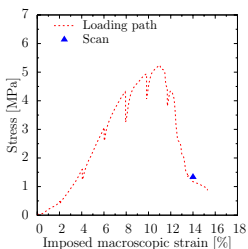


Critère de rupture  
Endommagement

# Perspectives

## Amélioration de la DEM

Epaisseur de coque t ↑

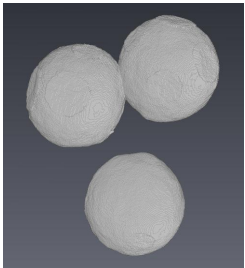
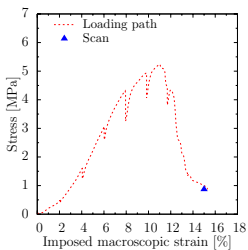


Critère de rupture  
Endommagement

# Perspectives

## Amélioration de la DEM

Epaisseur de coque t ↑

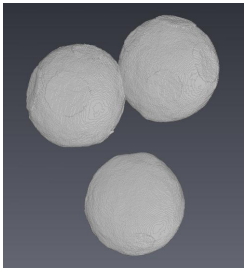
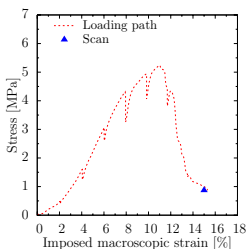


Critère de rupture  
Endommagement

# Perspectives

## Amélioration de la DEM

Epaisseur de coque t ↑

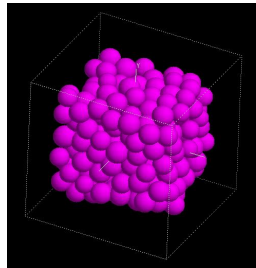
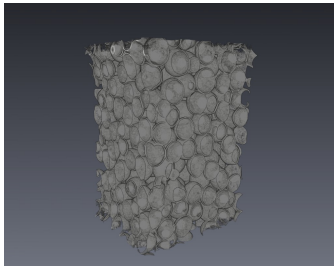


Critère de rupture  
Endommagement  
➡ matériau constitutif

# Perspectives

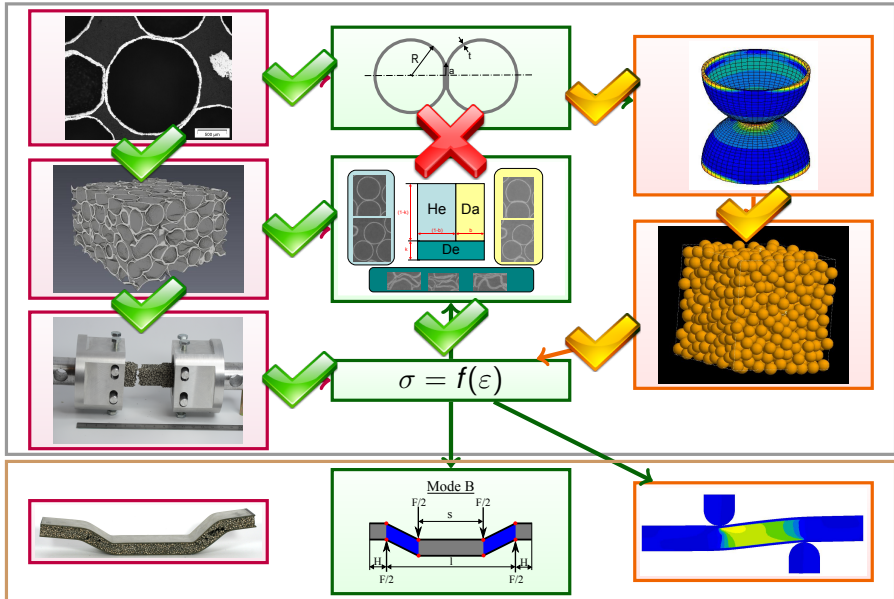
## Amélioration de la DEM

Epaisseur de coque t ↑

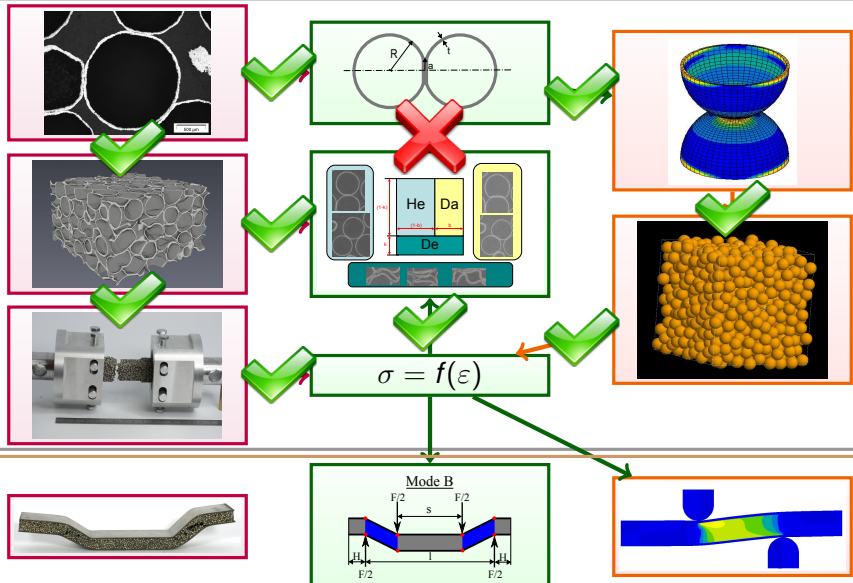


Critère de rupture  
Endommagement  
➡ matériau constitutif  
➡ Méthode inverse DEM-tomographie

# Bilan

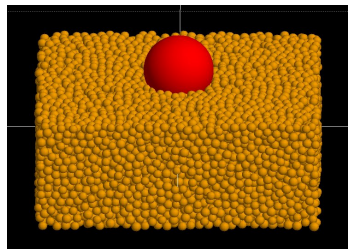


# Bilan

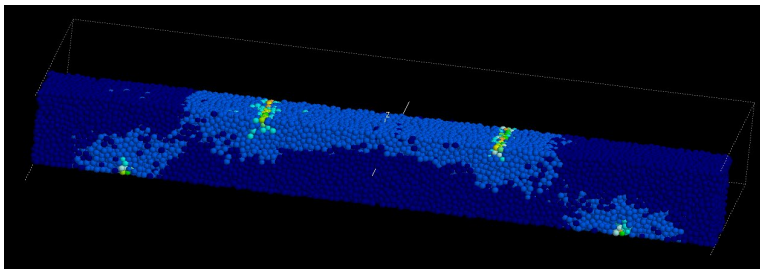


# Perspectives

Application de la DEM aux structures

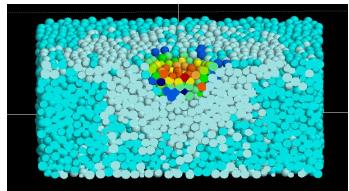


Longueur interne => Effets de tailles  
Structures à gradients (tailles de cols...)

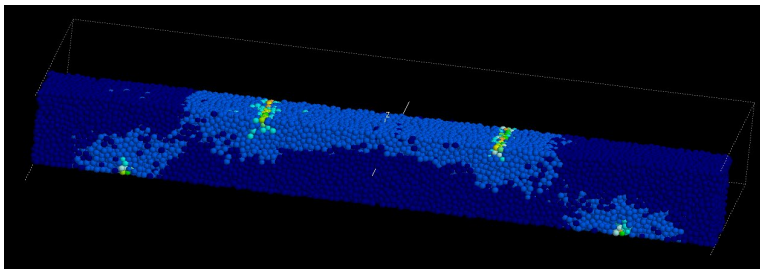


# Perspectives

Application de la DEM aux structures

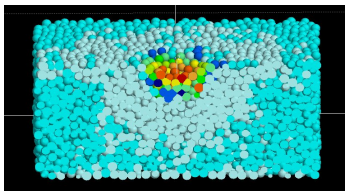


Longueur interne => Effets de tailles  
Structures à gradients (tailles de cols...)

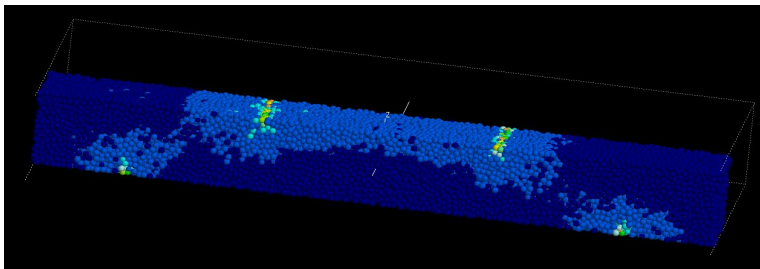


# Perspectives

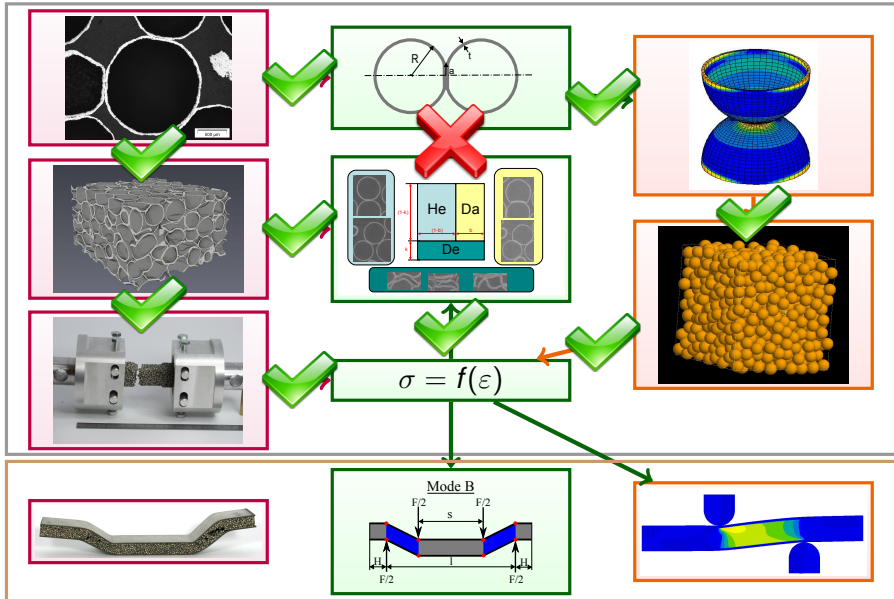
Application de la DEM aux structures



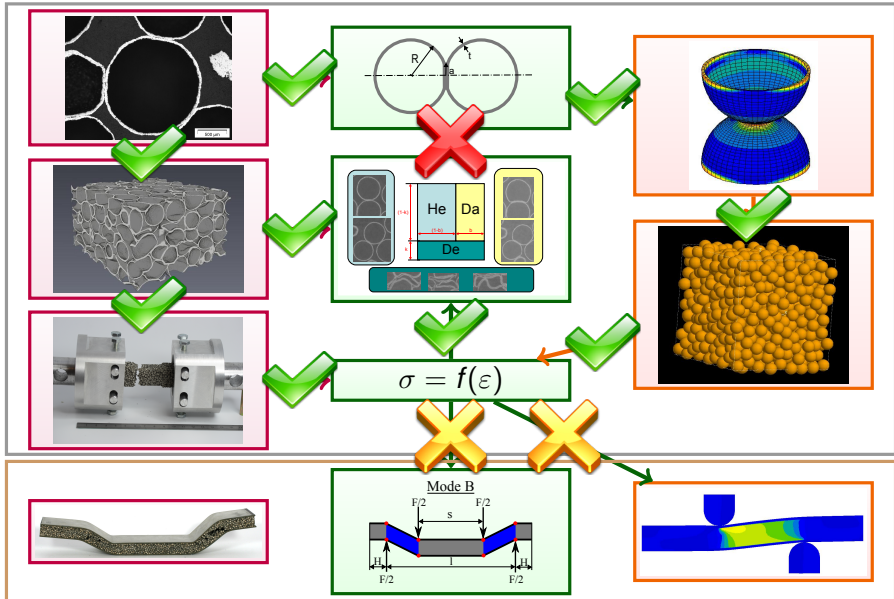
Longueur interne => Effets de tailles  
Structures à gradients (tailles de cols...)



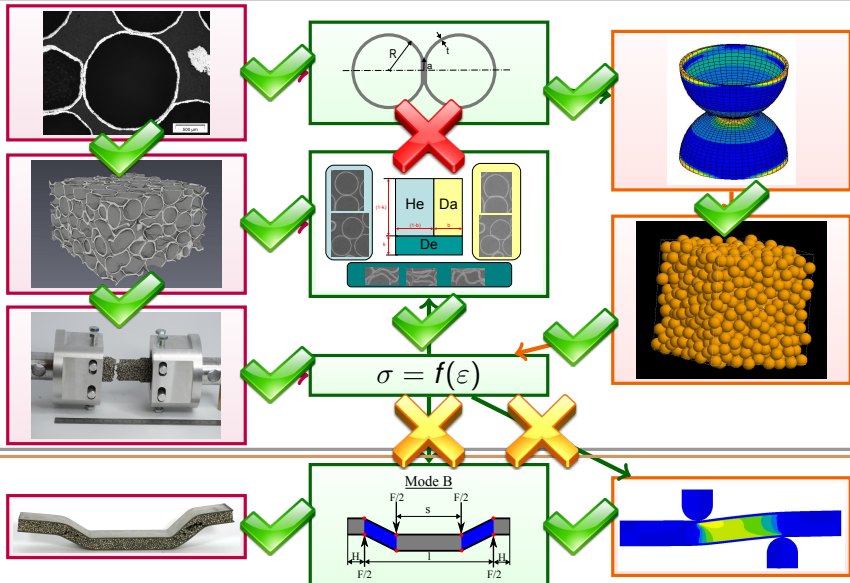
# Bilan



# Bilan



# Bilan



# Perspectives

## Structures sandwich

Process d'intégration dans les structures

➡ Peu de modification du cœur

Qualification du matériau après intégration

- ➡ DEM
- ➡ Expérimental (VER)

# Perspectives

## Structures sandwich

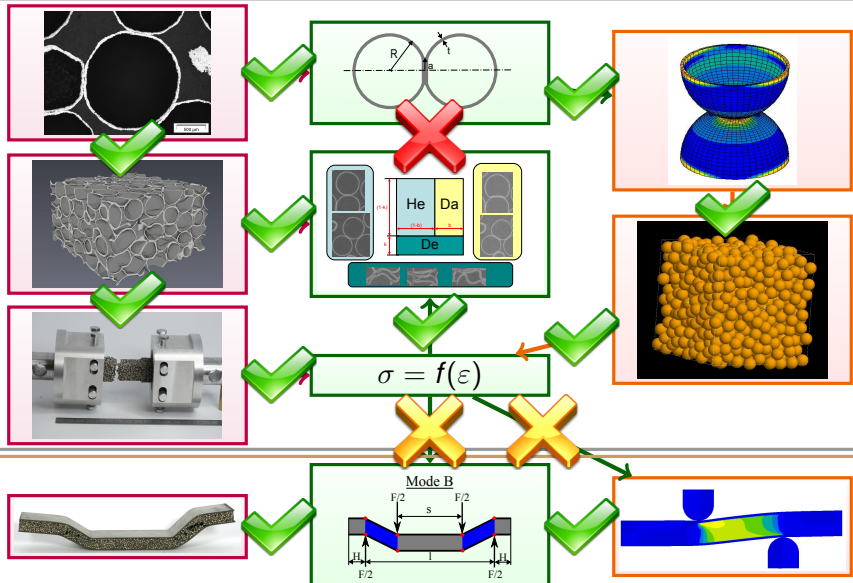
Process d'intégration dans les structures

➡ Peu de modification du coeur

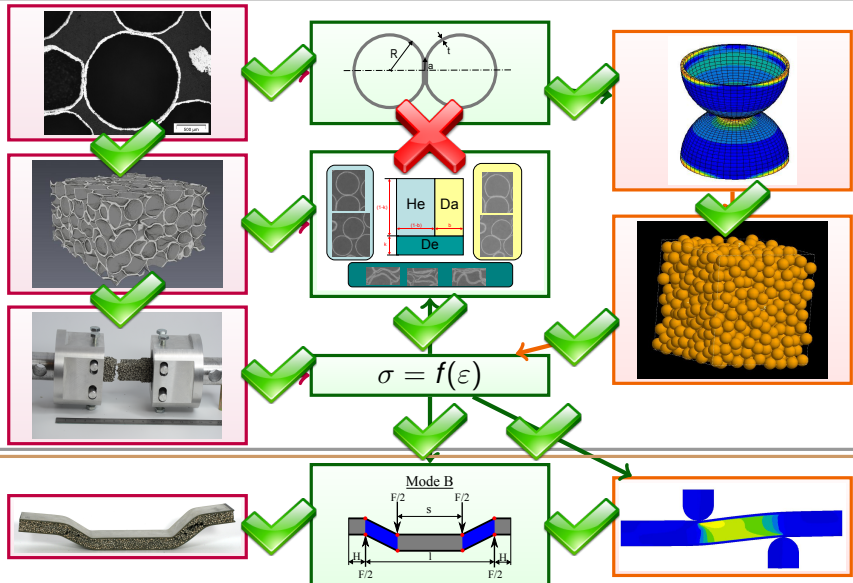
Qualification du matériau après intégration

- ➡ DEM
- ➡ Expérimental (VER)

# Bilan



# Bilan



# Applications

## Optimisation de structures

Analyse multi-échelles  
Liens entre les échelles

# Applications

## Optimisation de structures

Analyse multi-échelles  
Liens entre les échelles



Optimisation de  
structures

# Merci



au jury



# Merci



Claire, Claude,  
Charles, Franck,  
Gilles et Valérie

# Merci



Luc, Yves



# Merci



Luc, Yves



# Merci



Christophe, Rémy, Marc  
et l'ensemble du GPM2



# Merci



Christophe, Rémy, Marc  
et l'ensemble du GPM2



# Merci



Eric et Jérôme,  
Pierre et Sabine,  
Andréas et Claudio



# Merci



Merci



Alex et Jean-Phi  
et l'ensemble des thésards et  
ex-thésards

Merci



Alex et Jean-Phi  
et l'ensemble des thésards et  
ex-thésards



# Merci



Ceux qui m'on supporté et détendu

Merci pour votre attention.